

TESE  
157

CURTO - CIRCUITO

TRIFÁSICO

RESPOSTA TEMPO x CORRENTE

EFEI  
- DISSERTAÇÃO DE MESTRAD

01/01/1977



ANÁLISE DA RESPOSTA TEMPO X CORRENTE PARA  
CURTO-CIRCUITO TRIFÁSICO EM SISTEMAS DE  
POTÊNCIA

DISSERTAÇÃO DE MESTRADO:  
FRANCISCO VACCARI

ORIENTADOR:  
PROF. HÉLIO MOKARZEL

1977

A MINHA ALICE E MARIANA, PELA COMPREENSÃO E ESTÍMULO,  
DEDICO TODO ESFORÇO DESTE MEU TRABALHO

Meus sinceros agradecimentos a todos que me incenti  
varam e colaboraram na execução deste trabalho.

- Ao meu orientador Prof. Hélio Mokarzel, que nos pontos mais difíceis soube dar solução rápida e inteligente para os problemas.
- Ao pessoal da Divisão de Estudos Técnicos da Superintendência de Planejamento e Estudos Técnicos da CPFL: Lupo, Richard, Wellington, Maeyama, Kenji, que muito me auxiliaram na programação e preparo dos dados para computador.
- Ao projetista Carlos que mesmo atarefadíssimo, soube encontrar tempo para os desenhos.
- À Regina e Ivonilse no trabalho árduo de datilogra  
fia.

Meus profundos agradecimentos

CONTEÚDO

PÁG.

INTRODUÇÃO	1
CONCEITUAÇÃO TEÓRICA	1
PROGRAMA PARA COMPUTADOR	4
EXEMPLO DE APLICAÇÃO	11
ANÁLISE DOS RESULTADOS E CONCLUSÕES	13
MÉTODO DE INTEGRAÇÃO NÚMERICA "BACKWARD - DIFFERENCE"	ANEXO 1
CONTRIBUIÇÕES DA MÁQUINA SÍNCRONA PRA IMPEDÂNCIA EXTERNA " $z_E$ "	ANEXO 2
REPRESENTAÇÃO DA MÁQUINA SÍNCRONA PELOS SEUS MODELOS DE EIXOS "d" e "q"	ANEXO 3

# ANÁLISE DA RESPOSTA TEMPO X CORRENTE PARA CURTO-CIRCUITO TRIFÁSICO EM SISTEMAS DE POTÊNCIA

## , 1 - INTRODUÇÃO

Este trabalho objetiva a determinação da resposta tempo x corrente, da componente alternada da corrente de curto - circuito trifásico em sistemas de potência.

O período de tempo da análise será de cerca de dez ciclos, por conseguinte desprezaremos os efeitos dos reguladores de velocidade e de tensão das máquinas síncronas.

A simulação do comportamento dinâmico das máquinas síncronas, será feita através modelos de eixos "d" e "q", utilizando parâmetros tais como:  $X_d$ ,  $X'_D$ ,  $X''_d$ ,  $X_q$ ,  $X''_q$ ,  $T'_d\alpha$ ,  $T''_d\alpha$ ,  $T''_q\alpha$  | anexo 3, ref. 2,5| .

As cargas serão representadas por impedâncias equivalentes. Serão também representadas as impedâncias "shunt" dos reatores, capacitores, susceptâncias capacitivas relativas aos circuitos " $\pi$ " das linhas de transmissão e as impedâncias equivalentes do circuito " $\pi$ " dos transformadores com "tap" fora do nominal, | ref. 3,9| .

Um exemplo de aplicação para um sistema com 03 máquinas e cerca de 12 barras é relatado no parágrafo 4.

Uma análise dos resultados obtidos e conclusões são feitas no parágrafo 5.

Os anexos 1, 2 e 3 detalham respectivamente, o método de integração "Backward-Difference", as contribuições da máquina síncrona alimentando impedância externa, e os modelos utilizados para as máquinas síncronas.

## 2 - CONCEITUAÇÃO TEÓRICA

A figura 2-1-a exemplifica uma envoltória típica relativa à corrente total de curto-circuito trifásico bem como mostra a componente D.C., que desaparece em poucos ciclos. Se eliminarmos

a componente D.C. da corrente total obteremos a envoltória da componente A.C. (fig. 2-1-b), que será objeto de nosso estudo.

Para a obtenção da resposta tempo x corrente da componente A.C. da corrente de curto-círcuito trifásico, aplicaremos o princípio da superposição que diz:

"As contribuições em cada elemento de um circuito linear, alimentado por "n" fontes, podem ser determinadas pela soma algébrica das contribuições parciais, obtidas considerando-se uma fonte ligada de cada vez ao circuito, considerando-se as outras  $(n-1)$  fontes com suas f.e.m. zeradas".

Com cada máquina síncrona "i" representada pelos seus modelos de eixos "d" e "q", alimentando uma impedância externa  $Z_E(i)$ , correspondente à impedância vista pela máquina de seus terminais, poderemos calcular sua contribuição parcial para o curto. Assim procedendo para cada máquina, por superposição de efeitos, determinaremos as contribuições totais para o defeito.

As impedâncias externas  $Z_E(i)$  vistas por cada máquina (i) serão determinadas a partir da matriz " $Z_{BUS}$ " de sequência positiva, obtida considerando-se a barra de curto como referência. As impedâncias  $Z_E(i)$  correspondem ao elemento (i) da diagonal das matrizes " $Z_{BUS-MODIFICADA}(i)$ ", obtidas adicionando-se à matriz " $Z_{BUS}$ " original, as  $(n-1)$  reatâncias das máquinas com f.e.m. nula, ligadas à referência, e mantendo-se apenas as barras de geração.

Seja por exemplo considerar um sistema com 3 máquinas (fig. 2-2).

A corrente  $I_{11}^{11}$ , injetada pelo gerador 1 na barra 1 é obtida conectando-se a impedância  $Z_E(1) = Z_{11}^{11}$ , da matriz " $Z_{BUS-MODIFICA DA}(1)$ ", nos modelos de eixos "d" e "q" das máquinas.

O anexo 2 demonstra o cálculo das contribuições das máquinas alimentando a impedância externa  $Z_E$ .

As tensões  $V_{21}^{21}$  e  $V_{31}^{31}$ , correspondentes às tensões nas barras 2 e 3, relativas à injeção da corrente  $I_{11}^{11}$ , poderão ser obtidas através da matriz " $Z_{BUS-MODIFICADA}(1)$ ", como se segue:

$$\begin{bmatrix} Z_{\text{BUS}} - \text{MODIF. (1)} \\ Z_{\text{BUS}} - \text{MODIF. (1)} \end{bmatrix} = \begin{bmatrix} Z_{11} & Z_{12} & Z_{13} \\ Z_{21} & Z_{22} & Z_{23} \\ Z_{31} & Z_{32} & Z_{33} \end{bmatrix}$$

$$\begin{bmatrix} Z_{\text{BUS}} - \text{MODIF. (1)} \\ Z_{\text{BUS}} - \text{MODIF. (1)} \end{bmatrix} \times \begin{bmatrix} I_{11} \\ 0 \\ 0 \end{bmatrix} = \begin{bmatrix} V_{11} \\ V_{21} \\ V_{31} \end{bmatrix}$$

$$\text{então, } V_{21} = Z_{21} \cdot I_{11}$$

$$V_{31} = Z_{31} \cdot I_{11}$$

As correntes  $I_{21}$  e  $I_{31}$  absorvidas pelos geradores serão obtidas por:

$$I_{21} = - \frac{V_{21}}{X_{m_2}} \quad I_{31} = - \frac{V_{31}}{X_{m_3}}$$

Analogamente utilizando-se as matrizes " $Z_{\text{BUS}} - \text{MODIF. (2)}$ " e " $Z_{\text{BUS}} - \text{MODIF. (3)}$ ", obtém-se  $I_{22}$  e  $I_{33}$ , bem como  $I_{12}$ ,  $I_{32}$ ,  $I_{13}$  e  $I_{23}$ .

As injeções totais de cada máquina são obtidas por superposição:

$$I_{1T} = I_{11} + I_{12} + I_{13}$$

$$I_{2T} = I_{21} + I_{22} + I_{23}$$

$$I_{3T} = I_{31} + I_{32} + I_{33}$$

Tendo sido obtidas as injeções de corrente totais nas barras 1, 2 e 3 pode-se determinar as tensões e correntes em todo o sistema, pois temos que:

$$\begin{bmatrix} Z_{\text{BUS}} \end{bmatrix} \times \begin{bmatrix} I_{1T} \\ I_{2T} \\ I_{3T} \\ 0 \\ 0 \\ 0 \end{bmatrix} = \begin{bmatrix} V_1 \\ V_2 \\ V_3 \\ V_4 \\ V_5 \\ V_6 \end{bmatrix}$$

As contribuições para o curto-trifásico em cada elemento do sistema serão determinadas por:

$$I_{pq} = \frac{V_p - V_q}{Z_{pq}} \quad \text{onde } Z_{pq} = \text{impedância da linha p-q}$$

A corrente total na barra em curto (barra 4) será:

$$I_4 = I_{34} + I_{54}$$

Por conseguinte, para obtenção da resposta tempo x corrente das contribuições relativas à componente A.C., para o curto-trifásico, deve-se a cada intervalo de integração, calcular as reatâncias das máquinas com f.e.m. nula, as matrizes " $Z_{BUS}^{MODIF.}(i)$ " de onde se extraem os valores de  $Z_E(i)$ , as injeções parciais das máquinas " $I_{ii}$ ", as correntes absorvidas pelas máquinas com f.e.m. nula " $I_{ij}$ ", as injeções totais das máquinas " $I_{iT}$ " e finalmente, através da matriz " $Z_{BUS}$ ", as contribuições totais para o curto-círcuito.

A figura 2-3 mostra o fluxograma dos cálculos utilizados na programação para computador.

### 3 - PROGRAMA PARA COMPUTADOR

Para a obtenção da resposta tempo-corrente da componente A.C. para a corrente de curto-círcuito trifásico, foi desenvolvido um programa para computador digital, utilizando a linguagem "Fortran". Este programa tem uma construção modular, onde o programa principal tem apenas a função de chamar as subrotinas, e de contar os intervalos de integração.

São dados deste programa, os resultados obtidos de um "load-flow" inicial, com condições do sistema antes do curto-círcuito, e valores da matriz " $Z_{BUS}$ " obtida a partir da barra de curto como referência.

As subrotinas constantes do programa são as seguintes:

#### 3.1 - SUBROTTINA "ALICE"

Nesta subrotina são lidos e impressos os dados. Além dos resultados do "load-flow" e dos valores da matriz " $Z_{BUS}$ ", são dados de entrada as constantes das máquinas, o número

de intervalos de integração, o valor do intervalo de integração, o número de máquinas do sistema (no máximo 10 máquinas), o número de barras adjacentes à barra de curto.

Para a formação da matriz "Z<sub>BUS</sub>" as impedâncias equivalentes são determinadas como a seguir:

### 3.1.1 - CARGAS

Para a representação das cargas no estudo de curto-circuito foi necessário transformá-las em impedâncias equivalentes.

Do "load-flow" inicial obteve-se as tensões nas barras de carga, por conseguinte podemos determinar as impedâncias equivalentes das cargas utilizando-se estas tensões iniciais.

Temos que:

$$VI^* = P + jQ \quad I = \frac{P - jQ}{V^*}$$

$$Z = \frac{V}{I} = \frac{|V|^2}{P - jQ}$$

onde  $|V|$  = Módulo da tensão na barra de carga

$P$  = Potência ativa da carga

$Q$  = Potência reativa da carga

### 3.1.2 - CIRCUITO "π" DOS TRANSFORMADORES COM "TAP" FORA DO NOMINAL

Seja um transformador ligado em "tap" fora do nominal.

Seu circuito "π" equivalente será o representado na fig 3.1.2 (ref. 3,9).

### 3.1.3 - REATORES, CAPACITORES "SHUNT" E SUSCEPTÂNCIAS DE LINHAS

Estas reatâncias (capacitivas ou indutivas) serão de-

terminadas pela expressão:

$$x = \frac{|v|^2}{-jQ}$$

onde  $Q$  = Potência em p.u. do capacitor ou reator  
 $|v|$  = Módulo da tensão da barra em p.u.

$$\begin{aligned} Q > 0 & \text{ para reator} \\ Q < 0 & \text{ para capacitor} \end{aligned}$$

Escolhendo-se a barra de curto como referência, inicia-se a formação da matriz através uma impedância de linha ligada a uma barra adjacente ao curto.

As impedâncias das linhas e as equivalentes das cargas são então adicionadas uma a uma à matriz, indo até as barras terminais dos geradores. As reatâncias dos geradores não são consideradas na formação da matriz, pois os geradores serão representados pelos seus modelos de eixo "d" e "q" anexo 3.

As fórmulas utilizadas na formação da matriz " $Z_{BUS}$ " são as seguintes: |ref. 3|.

### 3.1.4 - ELEMENTO LIGADO DA REFERÊNCIA A UMA NOVA BARRA

Seja "K" a nova barra, teremos:

$$z_{ik} = z_{ki} = 0 \quad i \neq k$$

$$z_{kk} = z_{0-k} = \text{impedância da linha } 0-k$$

(ver fig. 3.1.4a)

### 3.1.5 - ADIÇÃO DE UMA NOVA BARRA

Seja adicionar uma linha radical de uma barra "p" a uma nova barra "q".

$$\text{Teremos: } z_{qk} = z_{pk} \quad k \neq q$$

$$z_{kq} = z_{kp}$$

$$z_{qq} = z_{pp} + z_{p-q}$$

(ver fig. 3.1.4b)

### 3.1.6 - ADIÇÃO DE UMA LINHA COM FECHAMENTO DE MALHA "LOOP"

Deve-se acrescentar uma linha e coluna à matriz "Z<sub>BUS</sub>", correspondente ao "loop" e depois através de redução de "Kron" modifica-se a matriz eliminando-se esta linha e coluna fictícias.

Os elementos da coluna e linha correspondentes ao "loop" são determinados por:

$$z_{\text{loop, loop}} = z_{pp} + z_{qq} - 2 z_{pq} + z_{p-q}$$

$$z_{i, \text{loop}} = z_{ip} - z_{iq} \quad i \neq \text{loop}$$

$$z_{\text{loop, i}} = z_{pi} - z_{qi} \quad i \neq \text{loop}$$

Pela redução de "Kron", modifica-se os elementos da matriz "Z<sub>BUS</sub>".

$$z'_{ij} = z_{ij} - z_{i,\text{loop}} \cdot z_{j,\text{loop}} \cdot \frac{1}{z_{\text{loop,loop}}}$$

### 3.2 - SUBROTINA "FABI"

Esta subrotina calcula os valores iniciais (antes do curto) das correntes e tensões de eixos "d" e "q" das máquinas e os valores de constantes a serem utilizadas nos modelos de eixos "d" e "q".

Através um "load-flow" inicial determinam-se os módulos das tensões das barras de geração, seus respectivos ângulos com relação à barra "swing" de referência, e os valores das injecções de potência ativa e reativa das máquinas do sistema.

Para a determinação das correntes e tensões iniciais de eixos "d" e "q" de cada máquina, tomamos como barra de referência a barra "swing" do "load-flow".

Primeiramente devemos determinar os eixos "d" e "q" de cada máquina. A fig. 3.2 mostra a localização destes eixos, sendo dados a tensão terminal da máquina " $e_T$ ", a corrente da armadura " $i_a$ " e a reatância síncrona de eixo "q", " $x_q$ " |ref. 5|.

A corrente " $i_a$ " (em p.u.) é determinada através da potência injetada pela máquina.

$$\text{Temos: } S = P + jQ$$

$S$  = Potência Aparente

$P$  = Potência Ativa

$Q$  = Potência Reativa

$$\dot{i}_t = |\dot{i}_t| \quad |\underline{\delta}_2|, \quad |\dot{i}_t| = \text{módulo da tensão terminal}$$

$$\delta_2 = \text{ângulo da tensão terminal}$$

$$i_a = \left( \frac{S}{\dot{i}_t} \right)^* \quad i_a = \text{corrente da armadura da máquina}$$

$$\dot{E}_q = \dot{i}_t + j i_a X q \quad \dot{E}_q = |\dot{E}_q| \quad |\underline{\delta}_1|$$

O ângulo do vetor  $E_q$  com a referência ( $\delta_1$ ) localiza o eixo "q".

Temos que:

$$\delta = \delta_1 - \delta_2$$

$$\phi = \delta_1 - \delta_3$$

$$e_{do} = |\dot{i}_t| \sin \delta$$

$$e_{qo} = |\dot{i}_t| \cos \delta$$

$$i_{do} = |i_a| \sin \phi$$

$$i_{qo} = |i_a| \cos \phi$$

que são os valores iniciais das tensões e correntes da máquina nos eixos "d" e "q".

### 3.3 - SUBROTINA "MARA"

Calcula as reatâncias das máquinas com f.e.m. nula, relativas a cada intervalo de integração, utilizando as correntes existentes nas máquinas no intervalo anterior da integração.

A condição de f.e.m. para uma máquina síncrona é aquela em que a tensão no campo  $\ell_{fd} = 0$ . Para a determinação da reatância da máquina com f.e.m. nula, seja injetar nos modelos de eixo "d" e "q", correntes " $i_d$ " e " $i_q$ " obtidas em cada intervalo anterior de integração.

Injetando-se a corrente " $i_d$ " no modelo de eixo "d", fig.

AN-3-2b com  $E_{fd} = e_{fd} \cdot \frac{L_{ad}}{r_{fd}} = 0$ , obtém-se a tensão

$$e_q = \psi_d'' - X_d'' i_d.$$

Injetando-se uma corrente " $i_q$ " no modelo de eixo "q" obtém-se a tensão  $e_d = -\psi_q'' + X_q'' i_q$ .

A reatância da máquina, vista pelos seus terminais, será dada por:

$$X_m = \frac{|\ell_t|}{|i_t|}$$

onde  $e_t$  = tensão terminal da máquina

$i_t$  = corrente terminal da máquina

$$\text{sendo } |e_t| = \sqrt{e_d^2 + e_q^2}, \quad |i_t| = \sqrt{i_d^2 + i_q^2}$$

$$\text{vem que } X_m = \frac{\sqrt{e_d^2 + e_q^2}}{\sqrt{i_d^2 + i_q^2}}$$

As correntes " $i_d$ " e " $i_q$ " relativas a cada intervalo de integração, são determinadas conforme a fig. 3.3 por:

$$i_d = AI \cdot \text{Sen} (\delta_1 - \text{AIANG})$$

$$i_q = AI \cdot \text{Cos} (\delta_1 - \text{AIANG})$$

Onde: AI = corrente terminal

AIANG = ângulo do vetor AI com a referência

### 3.4 - SUBROTINA "MARLO"

Nesta subrotina são calculadas as impedâncias externas vistas pelas máquinas, necessárias para a determinação das correntes parciais injetadas no sistema, na aplicação do princípio da superposição.

As reatâncias das máquinas com f.e.m. nula são adicionadas à matriz " $Z_{BUS}$ ", uma a uma, utilizando-se a redução de "KRON".

### 3.5 - SUBROTINA "MARCOS"

Esta subrotina calcula as contribuições parciais das máquinas com relação aos respectivos eixos "d" e "q" e com relação ao eixo de referência do sistema.

### 3.6 - SUBROTINA "LUCAS"

Através de injeção das correntes parciais das máquinas e consequente obtenção das tensões nas barras de geração, são calculadas nesta subrotina as correntes absorvidas pelas máquinas com f.e.m. nula.

### 3.7 - SUBROTINA "LUCINO"

Esta subrotina determina as contribuições totais de cada máquina, através da soma vetorial das correntes parciais, com as correntes absorvidas, quando operando com f.e.m. nula.

### 3.8 - SUBROTINA "MARINA"

Nesta subrotina são apresentados os resultados finais quais sejam: as contribuições das máquinas, as contribuições das barras adjacentes ao curto, as tensões nas barras de geração e nas barras adjacentes ao curto, e a corrente total de curto-círcuito trifásico.

Todos os valores são apresentados em por-unidade (p.u.), nas bases de potência e tensão dos dados de entrada.

Os quadros 3-1 a 3-13 contém as instruções do programa desenvolvido.

## 4 - EXEMPLO DE APLICAÇÃO

Para verificação do programa e ilustrar este trabalho, escolhemos um sistema simplificado constituído por 12 barras e 3 máquinas, apresentado na ilustração 4-1.

Este sistema representa a área norte-nordeste da C.P.F.L. As cargas correspondem a Junho/74. A interligação com FURNAS na Usina Porto-Colômbia apresenta apenas uma máquina para a CPFL.

Foi colocada uma carga equivalente na barra Usina Marechal M<sub>as</sub>carenhas de Moraes - 345, para representar o fluxo de potência das linhas de 345 kV que saem desta barra.

O "load-flow" inicial rodado com programa da "PECO", "Philadelphia Electric Company", apresentou os resultados mostrados no quadro 4-1.

Foram escolhidas as barras Usina Marechal M<sub>as</sub>carenhas de Mo-

raes - 138 kV e S/E Ribeirão Preto - 138 kV, para a aplicação do curto-círcuito trifásico. A primeira representa uma barra próxima à geração, sofrendo influência mais direta das máquinas, enquanto que a outra representa uma barra essencialmente de carga.

O quadro 4-2 mostra os dados de entrada para a formação das matrizes "Z<sub>BUS</sub>" para o curto-círcuito na barra de Ribeirão Preto, através do programa de curto-círcuito da "PECO".

O quadro 4-3 mostra os valores das constantes das máquinas.

Os quadros 4-4 e 4-5 mostram as impedâncias próprias e de transferência das matrizes "Z<sub>BUS</sub>", necessárias para os cálculos no programa de obtenção da resposta tempo x corrente A.C. da corrente de curto-círcuito trifásico.

Os dados das reatâncias e constantes de tempo das máquinas são mostrados no quadro 4-3, e estão em p.u. e em seg., respectivamente.

Os resultados das contribuições para o curto-círcuito trifásico são mostrados, em valores p.u., na base 100 MVA, nos quadros 4-6 a 4-14, para o curto-círcuito na barra SE Ribeirão Preto 138 kV, e nos quadros 4-15 a 4-23, para o curto-círcuito na barra Usina Marechal Mascarenhas de Moraes, correspondendo aos tempos t=0<sup>+</sup>, t=0,01 seg, t = 0,02 seg, t = 0,03 seg, t = 0,04 seg, t = 0,05 seg, t = 0,10 seg, t = 0,15 seg. e t = 0,19 seg.

Nos quadros mencionados, as barras adjacentes à barra de curto têm a seguinte identificação:

- CURTO NA BARRA S/A RIBEIRÃO PRETO - 138 kV
  - . barra "4" : U.S. M.M.Moraes - 138 kV
  - . barra "5" : S/E Araraquara - 138 kV
  - . barra "6" : S/E Laranjeiras - 138 kV
  
- CURTO NA BARRA US. M.M.MORAES - 138 kV
  - . barra "4" : U.S.M.M.Moraes - 345 kV
  - . barra "5" : U.S.M.M.Moraes B- 13,8 kV
  - . barra "6" : S/E Ribeirão Preto - 138 kV
  - . barra "7" : S/E S.Joaquim - 138 kV

O intervalo de tempo de integração escolhido foi o de 0,01 seg., compatível com as constantes de tempo das máquinas.

A ilustração 4-2 mostra gráficos correspondentes à resposta tempo x corrente da envoltória da componente A.C. (valor eficaz), para curto-círcuito trifásico nas barras U.S. Marechal Mascarenhas de Moraes 138 kV e S/E Ribeirão Preto 138 kV.

Pode-se notar a pronunciada variação da corrente de curto para a barra U.S: M.M.Moraes - 138 kV, cerca de 14% em 12 ciclos, com relação à barra S/E Ribeirão Preto - 138 kV, com cerca de 5% em 12 ciclos.

Para verificação da influência das cargas nos resultados das contribuições para o curto-círcuito trifásico, rodamos um caso normal, sem cargas, pelo programa da "PECO".

Os quadros 4-24 e 4-25 mostram os resultados das contribuições para o curto nas barras Ribeirão - 138 kV e Us. Marechal Mascarenhas de Moraes 138 kV, respectivamente. Estes valores correspondem ao tempo  $t = 0^+$ , pois foram obtidos considerado-se as reatâncias sub-transitórias das máquinas.

## 5 - ANÁLISE DOS RESULTADOS E CONCLUSÕES

Pode-se verificar, através da ilustração 4-2, que quando a barra escolhida de curto se aproxima da geração, é maior a variação da componente a.c da corrente de curto-círcuito, pois os resultados das contribuições estão mais relacionados às variações das reatâncias das máquinas.

A influência da consideração das cargas existentes no sistema, antes do curto, foi pequena representando um acréscimo de apenas cerca de 5% nas contribuições.

Uma aplicação da curva resposta tempo x corrente da componente A.C. da corrente de curto-círcuito trifásico, é o dimensionamento de disjuntores.

A norma USAS C37.06 a - 1968, estabeleceu as características nominais dos disjuntores baseadas na corrente simétrica de interrupção [ref. 10], que poderá ser determinada através da corrente assimétrica, como se segue:

A corrente eficaz assimétrica de curto-circuito correspondente a um determinado instante de tempo "t", é determinada por:

$$I_{\text{TOTAL}_{\text{ef}}} = \sqrt{I_{\text{ac}_{\text{ef}}}^2 + I_{\text{dc}_{\text{ef}}}^2} \quad (5-1)$$

onde  $I_{\text{ac}_{\text{ef}}} =$  componente A.C. determinada pela curva t x corrente (valor eficaz)

$I_{\text{dc}_{\text{ef}}} =$  componente D.C. da corrente de curto (valor eficaz)

$$I_{\text{dc}_{\text{ef}}} = \sqrt{2} \cdot I_{\text{ac}} (t = 0^+) \cdot e^{-t/T}$$

$$\text{onde } T = \frac{L}{R} = \frac{X}{R \cdot 377}$$

onde X = reatância equivalente do sistema no ponto de curto

R = resistência equivalente do sistema no ponto de curto

Seja "S" o fator de assimetria, obtido pela relação entre a corrente de interrupção assimétrica e a corrente de interrupção simétrica do disjuntor.

A fig. 5-1, [ref.-10], relaciona o fator de assimetria "S" com o tempo de abertura dos contatos dos disjuntores. Somando-se o tempo de atuação do relé de proteção ao tempo de abertura dos contatos do disjuntor, obtém-se o tempo de partida dos contatos do disjuntor. Com este tempo e através da equação (5-1) pode-se determinar a corrente assimétrica de curto, e através do fator "S" a corrente simétrica necessária para o dimensionamento dos disjuntores.

## REFERÊNCIAS BIBLIOGRÁFICAS

- 1 - "TESE DE LIVRE DOCENCIA" - EFEI  
HÉLIO MOKARZEL
- 2 - "MODELAGEM DE MÁQUINAS SÍNCRONAS"  
TRABALHO DE PESQUISA - EFEI  
HÉLIO MOKARZEL
- 3 - "SOLUTION OF LARGE NETWORKS BY MATRIX METHODS"  
HOMER E. BROWN  
JOHN WILEY & SONS, INC - 1975
- 4 - "COMPUTAÇÃO ANALÓGICA"  
JOSÉ ABEL ROYO DOS SANTOS  
LIVROS TÉCNICOS E CIENTÍFICOS EDITORA S/A - 1974
- 5 - ELECTRICAL MACHINES DYNAMICS I"  
F. P. DE MELLO
- 6 - "DIGITAL COMPUTER SOLUTION OF POWER FLOW PROBLEMS"  
J.B. WARD e H. W. HALE  
TRANS. AIEE. VOL. 75, PART 3, PG. 398
- 7 - "Z - TRANSFORM TECHNIQUES FOR ANALYSIS OF SYSTEMS"  
F. P. DE MELLO, AIEE CONFERENCE PAPER  
60-1291, OCTOBER, 1960
- 8 - "FACE - A DIGITAL DYNAMIC ANALYSIS PROGRAM"  
D.N. EWART, F. P. DE MELLO  
P.I.C.A. May, 1967
- 9 - "ELECTRIC ENERGY SYSTEMS THEORY: AN INTRODUCTION"  
OLLE I. ELGERD  
MC GRAW - HILL BOOK COMPANY - 1971
- 10 - "TUTORIAL COURSE - IEEE -  
APPLICATION OF POWER CIRCUIT BREAKERS" 1975.

ANEXO 1

---

MÉTODO DE INTEGRAÇÃO NUMÉRICA "BACKWARD-DIFFERENCE"

---

Na simulação de sistemas dinâmicos em computador digital, a programação de integradores representa a grande preocupação, uma vez que as outras funções do modelo, o computador digital executa sem maiores problemas, com rapidez e precisão.

Neste trabalho, adotamos o método "backward-difference" para resolver os integradores dos modelos equivalentes das máquinas síncronas [ref. 1].

Seja a fig. AN-1-1 onde representamos uma função contínua  $f(t)$ . Esta função pode ser representada através do operador "Z" (ref. 7 e 8) por:

$$Y = Y_0 Z^{-0} + Y_1 Z^{-1} + \dots + Y_n Z^{-n} + Y_{n+1} \cdot Z^{-(n+1)} + \dots$$

onde:

$$Y_n = \frac{1}{\Delta t} \cdot \left\{ \begin{array}{l} \frac{n\Delta t + \frac{\Delta t}{2}}{2} \\ f(t) dt \\ \frac{n\Delta t - \frac{\Delta t}{2}}{2} \end{array} \right.$$

$Y_n Z^{-n}$  só existe no intervalo "n" de uma série de intervalos  $\Delta t$ .

Um algoritmo de integração da função  $f(t)$  pode ser desenvolvido pela resposta a impulsos discretos de valores  $Y_n Z^{-n}$ , pois a entrada do integrador é uma função representada por uma série de impulsos, e a saída do integrador será a soma das saídas, para cada impulso, em cada intervalo de tempo.

Na fig. AN-1-2-(a e b) vemos a resposta de um integrador contínuo a um impulso unitário. Seja representar a resposta de um integrador discreto ideal a um impulso unitário de largura  $\Delta t$  e altura  $\frac{1}{\Delta t}$  (fig. AN-1-2-c), a saída será aquela da fig. AN-1-2(d).

Esta resposta pode ser representada por:

$$\Delta t \left( \frac{1}{2} z^{-0} + z^{-1} + z^{-2} + \dots + z^{-n} + \dots \right)$$

que pode ser também colocada na forma:

$$\frac{\Delta t}{2} \cdot \frac{1 + z^{-1}}{1 - z^{-1}}$$

Assim poderíamos representar este integrador conforme a fig. AN-1-3a

Este diagrama pode ainda ser expandido conforme a fig. AN-1-3b.

$$\text{O bloco } \frac{1}{1-z^{-1}} = 1 + z^{-1} + z^{-2} + \dots \text{ é um acumulador.}$$

As equações que definem a Saída ( $t$ ) em função da Entrada ( $t$ ), extraídas do diagrama acima, são as seguintes:

$$\text{Saída } (t) = \text{Entrada } (t) \cdot \frac{\Delta t}{2} + \text{Soma } (t-1)$$

$$\text{Soma } (t) = \text{Soma } (t-1) + \text{Entrada } (t) \cdot \Delta t$$

Este integrador é equivalente ao conhecido por "Central Difference". Apresenta uma saída no mesmo instante " $t$ " da entrada, e como normalmente a entrada é uma função da saída, o processo de integração necessita de um processo iterativo.

Colocando-se um atraso na entrada do integrador, obtém-se um integrador cuja saída não corresponde ao mesmo tempo " $t$ " da entrada. Seja o diagrama da fig. AN-1-3c.

Cujas equações são:

$$\text{Saída } (t) = \text{Entrada } (t-1) \cdot \Delta t/2 + \text{Soma } (t-1)$$

$$\text{Soma } (t) = \text{Soma } (t-1) + \text{Entrada } (t) \cdot \Delta t$$

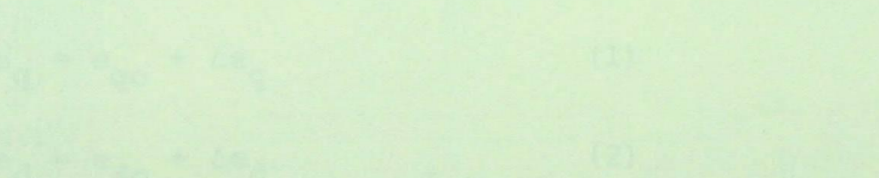
A determinação da Saída ( $t$ ) não exige processo iterativo. Este é o processo equivalente ao integrador "Backward Difference". Com a escolha adequada do intervalo  $\Delta t$ , este processo é preciso e muito prático (ref. 1).

A fig. AN-1-4b representa a saída do integrador "Backward Difference" relativa a um pulso de entrada (fig. AN-1-4a).

Indicamos as valores iniciais da tensão e corrente que minimizam o erro. Isso é muito mais conveniente adotar modelos contínuos. As equações gerais são obtidas nos apêndices. Na figura AN-1-2 e AN-1-3, descrevemos os modelos para os casos "d" e "q", eliminando as variações discretas, embora a continuidade entre os dois tipos de modelos seja feita em certo critério.

A função de integração assume "q" nos modelos, deve ser utilizada na determinação das constantes "P" e "Q", pois é a única que minimiza o erro. Por exemplo, se  $P = Q = 0.5$ , o resultado é exato, mas não pode ser garantida a estabilidade numérica da simulação.

A perda de estabilidade nas equações geradas é ligada ao cargo de tempo. Existe uma maneira de minimizar as "imprecisões".



Para obter maior精确度, é necessário aumentar o valor incremental da constante de constante de tempo.

ANEXO 2CONTRIBUIÇÕES DA MÁQUINA SÍNCRONA PARA IMPEDÂNCIA EXTERNA "Z<sub>E</sub>"

Determinados os valores iniciais de tensão e corrente das máquinas:  $e_{do}$ ,  $e_{qo}$ ,  $i_{do}$ ,  $i_{qo}$ , é mais conveniente adotar modelos equivalentes com grandezas incrementais  $\Delta e_d$ ,  $\Delta e_q$ ,  $\Delta i_d$ ,  $\Delta i_q$ . As figuras AN-2-1 e AN-2-2 representam estes modelos para os eixos "d" e "q", alimentando uma carga externa "Z<sub>E</sub>", equivalente à impedância vista dos terminais da máquina até à barra em curto trifásico.

A ligação da impedância externa "Z<sub>E</sub>" aos modelos, leva a uma dificuldade na determinação das correntes " $i_d$ " e " $i_q$ ", pois formam-se "loops" algébricos,  $\Delta E_Q$ ,  $E_Q$ ,  $Z_E$ ,  $\Delta I_D$ ,  $X_{D_2}$ ,  $e \cdot \Delta E_D$ ,  $E_D$ ,  $Z_E$ ,  $\Delta I_Q$ ,  $X_{Q_2}$ , que deverão ser eliminados para evitar instabilidade numérica na simulação.

A seguir, determinaremos as equações relativas à ligação da carga externa Z<sub>E</sub> aos modelos, para solucionar os "loop-algébricos".

Temos que:

$$e_q = e_{qo} + \Delta e_q \quad (1)$$

$$e_d = e_{do} + \Delta e_d \quad (2)$$

Sendo  $\Delta e_q$  = Valor incremental da tensão no eixo "q"

$\Delta e_d$  = Valor incremental da tensão no eixo "d"

Dos modelos "d" e "q" temos:

$$\Delta e_q = -\Delta i_d X''_d + \Delta \Psi''_d \quad (3)$$

$$\Delta e_d = \Delta i_q X''_q - \Delta \Psi''_q \quad (4)$$

A tensão de armadura da máquina (tensão terminal) é dada por:

$e_t = e_d + j e_q$ , tomando-se o eixo "d" como referência.

A corrente terminal será:

$$i_t = i_d + j i_q = \frac{e_d + j e_q}{R_e + j X_e}$$

onde:  $R_e + j X_e = Z_e$  impedância externa

Multiplicando-se pelo conjugado  $(R_e - j X_e)$  vem:

$$i_t = \frac{(e_d R_e + e_q X_e) + j(e_q R_e - e_d X_e)}{R_e^2 + X_e^2}$$

Vem que:

$$i_d = \frac{e_d R_e + e_q X_e}{R_e^2 + X_e^2} \quad e \quad i_q = \frac{e_q R_e - e_d X_e}{R_e^2 + X_e^2} \quad (5)$$

Substituindo as equações (1), (2), (3) e (4) nas equações (5) vem:

$$i_d = \frac{(e_{do} + \Delta i_q X''_q - \Delta \Psi''_q) R_e + (e_{qo} + \Delta \Psi''_d - \Delta i_d X''_d) X_e}{R_e^2 + X_e^2} \quad (6)$$

$$i_q = \frac{(e_{qo} + \Delta \Psi''_d - \Delta i_d X''_d) R_e - (e_{do} + \Delta i_q X''_q - \Delta \Psi''_q) X_e}{R_e^2 + X_e^2} \quad (7)$$

Temos que:

$$i_d = i_{do} + \Delta i_d \quad (8)$$

$$i_q = i_{qo} + \Delta i_q \quad (9)$$

Onde:  $\Delta i_d$  = Valor incremental da corrente de eixo "d"

$\Delta i_q$  = Valor incremental da corrente de eixo "q"

Substituindo a equação (8) na equação (6), e tirando o valor de  $\Delta i_d$  vem:

$$\Delta i_d = \frac{K_2 \left[ (e_{do} - \Delta \Psi''_q + \Delta i_q X''_q) R_e + (e_{qo} + \Delta \Psi''_d) X_e \right] - i_{do}}{1 + K_2 X''_d X_e} \quad (10)$$

onde:  $K_2 = \frac{1}{R_e^2 + X_e^2}$

Substituindo a equação (9) na equação (7) e tirando o valor de  $\Delta i_q$  vem:

$$\Delta i_q = \frac{K_2 \left[ (e_{qo} + \Delta \Psi''_d - \Delta i_d X''_d) R_e - (e_{do} - \Delta \Psi''_q) X_e \right] - i_{qo}}{1 + K_2 X''_q X_e} \quad (11)$$

Fazendo  $K_1 = \frac{1}{1 + K_2 X''_d X_e}$  na equação (10):

$$\Delta i_d = K_1 K_2 \left[ (e_{do} - \Delta \Psi''_q) R_e + (e_{qo} + \Delta \Psi''_d) X_e \right] - K_1 i_{do} + (K_1 K_2 X''_q R_e) \Delta i_q$$

Fazendo  $A = K_1 K_2 \left[ (e_{do} - \Delta \Psi''_q) R_e + (e_{qo} + \Delta \Psi''_d) X_e \right] - K_1 i_{do}$

$$e \quad B = K_1 K_2 X''_q R_e$$

Vem:

$$\Delta i_d = A + B \Delta i_q \quad (12)$$

A e B são constantes para cada intervalo de integração.

Fazendo:  $K_3 = \frac{1}{1 + K_2 X''_q X_e}$  na equação (11):

$$\Delta i_q = K_2 K_3 \left[ (e_{qo} + \Delta \Psi''_d) R_e - (e_{do} - \Delta \Psi''_q) X_e \right] - K_3 i_{qo} - K_3 K_2 X''_d R_e \Delta i_d$$

Fazendo:

$$C = K_2 K_3 \left[ (e_{qo} + \Delta \Psi''_d) R_e - (e_{do} - \Delta \Psi''_q) X_e \right] - K_3 i_{qo}$$

$$D = -K_2 K_3 X'' d^R e$$

Vem:

$$\Delta i_q = C + D \Delta i_d \quad (13)$$

C, D são constantes para cada intervalo de integração.

As equações (12) e (13) nos fornecem os valores de  $\Delta i_d$  e  $\Delta i_q$  para cada intervalo de integração.

ANEXO 3

## REPRESENTAÇÃO DA MÁQUINA SÍNCRONA PELOS SEUS MODELOS DE EIXO "d" E "q"

1 - INTRODUÇÃO

A simulação do comportamento dinâmico das máquinas síncronas pode ser feita através de modelos nos eixos "d", "q" e "o", que poderão ser utilizados em computadores analógicos ou digitais.

Desenvolveremos os modelos em termos dos parâmetros derivados ( $L_d$ ,  $L'_d$ ,  $L''_d$ ,  $T'_d$ ,  $T''_d$ , etc) ao invés dos parâmetros originais dos circuitos equivalentes ( $L_{ad}$ ,  $L_\ell$ ,  $r_{fd}$ ,  $L_{kd}$ , etc) |ref. 2,5|.

Serão consideradas para este estudo, máquinas com polos salientes com enrolamentos amortecedores e sem saturação.

2 - MODELO EQUIVALENTE DA MÁQUINA NO EIXO "d"

A fig. AN-3-2a mostra o circuito equivalente da máquina de polos salientes de eixo "d" |ref. 5|.

As relações de fluxo enlaçado para o eixo "d" são (valores em p.u.):

$$\Psi_{ad} = L_{ad} (i_{fd} + i_{kd} - i_d) \quad (1)$$

$$\Psi_{fd} = \Psi_{ad} + L_{fd} \cdot i_{fd} \quad (2)$$

$$\Psi_{kd} = \Psi_{ad} + L_{kd} \cdot i_{kd} \quad (3)$$

$$\Psi_d = \Psi_{ad} - L_\ell \cdot i_d \quad (4)$$

De (1) e (2) eliminando  $\Psi_{ad}$  vem:

$$\Psi_{fd} = i_{fd} (L_{ad} + L_{fd}) + L_{ad} (i_{kd} - i_d) \quad (5)$$

Sendo a auto-indutância do campo,

$$L_{ffd} = L_{ad} + L_{fd}$$

Multiplicando-se ambos os membros da eq. (5) por

$L_{ad}/L_{ffd}$  vem:

$$\frac{\Psi_{fd}}{L_{ffd}} \cdot \frac{L_{ad}}{L_{ffd}} = i_{fd} L_{ad} + \frac{L_{ad}^2}{L_{ffd}} (i_{kd} - i_d) \quad (6)$$

Da eq. (3) vem:

$$\Psi_{ad} = \Psi_{kd} - L_{kd} i_{kd}$$

Substituindo este valor em (1) vem:

$$\Psi_{kd} - L_{kd} i_{kd} = L_{ad} (i_{fd} + i_{kd} - i_d)$$

$$\Psi_{kd} = L_{ad} (i_{fd} - i_d) + i_{kd} (L_{ad} + L_{kd}) \quad (7)$$

Tirando o valor de  $L_{ad} \cdot i_{fd}$  de (7) e substituindo em (6) vem:

$$\frac{\Psi_{fd}}{L_{ffd}} \frac{L_{ad}}{L_{ffd}} = \Psi_{kd} + L_{ad} i_d - (L_{ad} + L_{kd}) i_{kd} + \frac{L_{ad}^2}{L_{ffd}} \cdot (i_{kd} - i_d)$$

$$\frac{\Psi_{fd}}{L_{ffd}} \frac{L_{ad}}{L_{ffd}} = i_d \left[ L_{ad} - \frac{L_{ad}^2}{L_{ffd}} \right] + \Psi_{kd} + i_{kd} \left[ \frac{L_{ad}^2}{L_{ffd}} - (L_{ad} + L_{kd}) \right] \quad (8)$$

Temos que:

$$L_{ad} - \frac{L_{ad}^2}{L_{ffd}} = \frac{L_{ad} L_{fd}}{L_{ffd}}$$

$$\frac{L_{ad}^2}{L_{ffd}} - (L_{ad} + L_{kd}) = -(L_{kd} + \frac{L_{fd} L_{ad}}{L_{ffd}})$$

Substituindo na eq. (8) vem:

$$\frac{\Psi_{fd}}{L_{ffd}} \frac{L_{ad}}{L_{ffd}} = i_d \frac{L_{ad} L_{fd}}{L_{ffd}} + \Psi_{kd} - i_{kd} \left[ L_{kd} + \frac{L_{fd} L_{ad}}{L_{ffd}} \right] \quad (9)$$

$$\text{Temos que } \Psi_d = \Psi_{ad} - i_d L_\ell$$

Substituindo na eq. (3) vem:

$$\Psi_d = \Psi_{kd} - L_{kd} i_{kd} - i_d L_\ell \quad (10)$$

Tirando  $i_{kd}$  da eq. (9) e substituindo em (10) vem:

$$\Psi_d = \Psi_{kd} - L_{kd} \left[ \frac{\Psi_{kd} + i_d \frac{L_{ad} L_{fd}}{L_{ffd}} - \Psi_{fd} \frac{L_{ad}}{L_{ffd}}}{L_{ffd}} \right] \left[ L_{kd} + \frac{L_{fd} i_{ad}}{L_{ffd}} \right] - i_d L_\ell$$

$$\text{Fazendo } \frac{\Psi_{fd} L_{ad}}{L_{ffd}} = E' q / \omega$$

$$L_{ffd}$$

$$\Psi_d = \Psi_{kd} - \frac{L_{kd} \left[ \Psi_{kd} - E' q / \omega \right]}{L_{kd} + \frac{L_{fd} L_{ad}}{L_{ffd}}} - i_d \left[ L_\ell + \frac{L_{ad} L_{fd} L_{kd}}{L_{ffd} \cdot L_{kd} + L_{fd} \cdot L_{ad}} \right] \quad (11)$$

$$\Psi_d = \Psi_{kd} \left[ 1 - \frac{L_{kd}}{L_{kd} + \frac{L_{fd} L_{ad}}{L_{ffd}}} \right] + L_{kd} \frac{E' q}{\omega} - i_d \left[ L_\ell + \frac{L_{ad} L_{fd} L_{kd}}{L_{ffd} \cdot L_{kd} + L_{fd} \cdot L_{ad}} \right] \quad (12)$$

Temos ainda que:

$$L'_d = L_\ell + \frac{L_{ad} L_{fd}}{L_{ffd}} = \text{indutância transitória de eixo "d"}$$

$$L''_d = L_\ell + \frac{1}{\frac{1}{L_{ad}} + \frac{1}{L_{fd}} + \frac{1}{L_{kd}}} = \text{indutância subtransitória de eixo "d"}$$

$$L_d = L_\ell + L_{ad} = \text{indutância síncrona de eixo "d"}$$

$$L_d - L'_d = \frac{L_{ad}^2}{L_{ffd}}$$

$$L_{kd} = \frac{(L'_d - L_\ell) (L''_d - L_\ell)}{L'_d - L''_d}$$

$$\frac{L_{ad} L_{fd}}{L_{ffd}} = L'_d - L_\ell$$

$$L_{fd} = \frac{L_{ad} (L'_d - L_\ell)}{L_d - L'_d}$$

Substituindo os valores de  $L_{kd}$ ,  $L_{fd}$  e  $\frac{L_{ad} \cdot L_{fd}}{L_{ffd}}$  na eq. (12) vem:

$$\Psi_d = \Psi_{kd} \cdot \frac{L'_d - L''_d}{L'_d - L_\ell} + \frac{E'q}{\omega} \cdot \frac{L''_d - L_\ell}{L'_d - L_\ell} - i_d L''_d \quad (13)$$

$$\text{ou: } \Psi_d = \Psi''_d - i_d L''_d \quad (14)$$

$$\text{onde: } \Psi''_d = \Psi_{kd} \cdot \frac{L'_d - L''_d}{L'_d - L_\ell} + \frac{E'q}{\omega} \cdot \frac{L''_d - L_\ell}{L'_d - L_\ell}$$

$\Psi_{kd}$  e  $E'q/\omega$  são obtidos através de integração das equações do rotor.

Temos no enrolamento amortecedor:

$$i_{kd} r_{kd} + \frac{d\Psi_{kd}}{dt} = 0$$

$$\text{ou: } \Psi_{kd} = - \int i_{kd} r_{kd} dt \quad (15)$$

Da eq. (8) tirando o valor de  $i_{kd}$ :

$$i_{kd} = \left[ \frac{E'q}{\omega} - i_d \left( L_{ad} - \frac{L_{ad}^2}{L_{ffd}} \right) - \Psi_{kd} \right] \checkmark$$

$$\left[ \frac{L_{ad}^2}{L_{ffd}} - (L_{ad} + L_{kd}) \right]$$

ou ainda:

$$i_{kd} = \left[ \frac{E'q}{\omega} - i_d \frac{L_{ad}L_{fd}}{L_{ffd}} - \Psi_{kd} \right] \Bigg/ \left[ \frac{L_{kd} + \frac{L_{fd}L_{ad}}{L_{ffd}}}{L_{ffd}} \right] \quad (16)$$

Substituindo em (15) vem:

$$\Psi_{kd} = - \int r_{kd} \left[ \frac{\Psi_{kd} - \frac{E'q}{\omega} + \frac{L_{ad}L_{fd}}{L_{ffd}} \cdot i_d}{\frac{L_{kd} + \frac{L_{ad} \cdot L_{fd}}{L_{ffd}}}{L_{ffd}}} \right] dt$$

$$\text{Sendo } T''_{do} = \left[ \frac{L_{kd} + \frac{L_{ad}L_{fd}}{L_{ffd}}}{L_{ffd}} \right] \cdot \frac{1}{r_{kd}}$$

$T''_{do}$  = constante de tempo sub-transitória de circuito aberto de eixo "d", vem que:

$$\Psi_{kd} = - \frac{1}{T''_{do}} \int \left[ \Psi_{kd} - \frac{E'q}{\omega} + (L'q - L_\ell) i_d \right] dt \quad (18)$$

Do enrolamento de campo temos:

$$\ell_{fd} = r_{fd} i_{fd} + \frac{d\Psi_{fd}}{dt}$$

Multiplicando por  $L_{ad}/L_{ffd}$  e integrando:

$$\frac{L_{ad}}{L_{ffd}} \Psi_{fd} = \int \left[ \ell_{fd} \frac{L_{ad}}{L_{ffd}} - r_{fd} \cdot \frac{L_{ad}}{L_{ffd}} i_{fd} \right] dt \quad (19)$$

Sendo  $T'_{do} = \frac{L_{ffd}}{r_{fd}}$  = constante de tempo transitória de circuito aberto de eixo "d"

A eq. (19) fica então:

$$\frac{E'q}{\omega} = \frac{1}{T'_{do}} \int \left[ \ell_{fd} \frac{L_{ad}}{r_{fd}} - L_{ad} I_{fd} \right] dt$$

Fazendo  $\frac{L_{ad}}{r_{fd}} = E_{fd}$ , vem:

$$\frac{E'q}{\omega} = \frac{1}{T'do} \int \left[ E_{fd} - L_{ad} i_{fd} \right] dt \quad (20)$$

Da eq. (6) temos:

$$L_{ad} i_{fd} = \frac{E'q}{\omega} - \frac{L_{ad}^2}{L_{ffd}} (i_{kd} - i_d) \quad (21)$$

Substituindo o valor de  $i_{kd}$  da eq. (16) na eq. (21) vem:

$$L_{ad} i_{fd} = \frac{E'q}{\omega} + \frac{L_{ad}^2}{L_{ffd}} i_d + \frac{L_{ad}^2}{L_{ffd}} \left[ \frac{\frac{E'q}{\omega} - i_d \frac{L_{ad} L_{fd}}{L_{ffd}} - \Psi_{kd}}{L_{kd} + \frac{L_{fd} L_{ad}}{L_{ffd}}} \right]$$

$$L_{ad} i_{fd} = \frac{E'q}{\omega} + \left[ \frac{E'q}{\omega} - \Psi_{kd} \right] \left[ \frac{\frac{L_{ad}^2}{L_{ffd}} \cdot \frac{1}{L_{kd} + \frac{L_{fd} L_{ad}}{L_{ffd}}}}{\frac{L_{ad}^2}{L_{ffd}} \cdot \frac{1}{L_{kd} + \frac{L_{fd} L_{ad}}{L_{ffd}}}} \right] +$$

$$\frac{\frac{L_{ad}^2}{L_{ffd}} \cdot i_d \left[ 1 - \frac{L_{ad} L_{fd}}{L_{ffd}} \cdot \frac{1}{L_{kd} + \frac{L_{fd} L_{ad}}{L_{ffd}}} \right]}{(22)}$$

Como já vimos:

$$L_d - L'd = \frac{L_{ad}^2}{L_{ffd}} \quad L_{kd} = \frac{(L'd - L_\ell)(L''d - L_\ell)}{L'd - L''d}$$

$$\text{e: } L_{fd} = \frac{L_{ad} (L'd - L_\ell)}{L_d - L'd}$$

Substituindo em (22) vem:

$$\begin{aligned}
 L_{ad} i_{fd} &= \frac{E'q}{\omega} + \left[ \frac{E'q - \Psi_{kd}}{\omega} \right] \left[ \frac{(L_d - L'_d)(L'_d - L''_d)}{(L'_d - L_\ell)^2} \right] + \\
 &+ i_d (L_d - L'_d) \left[ 1 - \frac{L'_d - L''_d}{L'_d - L_\ell} \right] \quad (23)
 \end{aligned}$$

As equações necessárias para a elaboração do diagrama de blocos de eixo "d" da máquina, podem ser resumidas nas equações seguintes:

$$(De 13) \quad \Psi''_d = \Psi_{kd} \left[ \frac{L'_d - L''_d}{L'_d - L_\ell} \right] + \frac{E'q}{\omega} \left[ \frac{L''_d - L_\ell}{L'_d - L_\ell} \right]$$

$$(14) \quad \Psi_d = \Psi''_d - i_d L''_d$$

$$(18) \quad \Psi_{kd} = - \frac{1}{T''_{do}} \left( \Psi_{kd} - \frac{E'q}{\omega} + (L'_d - L_\ell) i_d \right) dt$$

$$(20) \quad \frac{E'q}{\omega} = \frac{1}{T'_{do}} \left( E_{fd} - L_{ad} i_{fd} \right) dt$$

$$\begin{aligned}
 (23) \quad L_{ad} i_{fd} &= \frac{E'q}{\omega} + \left[ \frac{E'q - \Psi_{kd}}{\omega} \right] \cdot \left[ \frac{(L_d - L'_d)(L'_d - L''_d)}{(L'_d - L_\ell)^2} \right] + \\
 &+ i_d (L_d - L'_d) \left[ 1 - \frac{L'_d - L''_d}{L'_d - L_\ell} \right]
 \end{aligned}$$

Admitindo-se  $\bar{\omega} = 1.0$  p.u., ou seja, que após o curto a máquina mantém sua velocidade síncrona (durante cerca de 10 ciclos), as indutâncias  $L$  e a reatância  $X = \omega L$  terão o mesmo valor em p.u.

A fig. AN-3-2b mostra o diagrama de blocos relativo ao modelo de eixo "d" da máquina síncrona.

3 - MODELO EQUIVALENTE DA MÁQUINA SÍNCRONA NO EIXO "q"

A fig. AN-3-3a mostra o circuito equivalente da máquina de polos salientes de eixo "q".

As relações de fluxos enlaçados são as seguintes:

$$\Psi_{aq} = L_{aq} (i_{kq} - i_q) \quad (1) \quad (\text{valores em p.u.})$$

$$\Psi_{kq} - \Psi_{aq} = L_{kq} i_{kq} \quad (2)$$

$$\Psi_q - \Psi_{aq} = -L_\ell i_q \quad (3)$$

Das equações (1) e (2), eliminando  $\Psi_{aq}$ :

$$\Psi_{kq} - L_{aq} (i_{kq} - i_q) - L_{kq} i_{kq} = 0$$

$$\Psi_{kq} - i_{kq} (L_{aq} + L_{kq}) + L_{aq} i_q = 0$$

$$\Psi_{kq} - i_{kq} \frac{L_{kkq}}{L_{kq}} + L_{aq} i_q = 0 \quad (4)$$

Temos que:

$$L'_{q} = L''_{q} = L_\ell + \frac{L_{aq} \cdot L_{kq}}{L_{kkq}} = \text{indutância subtransitória (transitoria de eixo "q").}$$

$$L_q = L_{aq} + L_\ell = \text{indutância síncrona de eixo "q".}$$

Então:

$$L_q - L''_q = (L_{aq} + L_\ell) - L_\ell - \frac{L_{aq} L_{kq}}{L_{kkq}} = \frac{L_{aq}^2}{L_{kkq}}$$

Multiplicando (4) por  $\frac{L_{aq}}{L_{kkq}}$  vem:

$$\frac{L_{aq}}{L_{kkq}}$$

$$\frac{\Psi_{kq} L_{aq}}{L_{kkq}} - i_{kq} \frac{L_{aq}}{L_{kkq}} + (L_q - L''_q) i_q = 0 \quad (5)$$

Substituindo  $\Psi_{aq}$  de (1) em (3):

$$\Psi_q - L_{aq} (i_{kq} - i_q) = - L_\ell i_q$$

$$\Psi_q - L_{aq} i_{kq} = - i_q (L_{aq} + L_\ell) = - i_q L_q \quad (6)$$

Tirando  $i_{kq}$  de (5) e substituindo em (6).

$$\Psi_q - L_{aq} \left[ \frac{\Psi_{kq}}{L_{kkq}} + \frac{(L_q - L''_q)}{L_{aq}} i_q \right] = - i_q L_q$$

$$\Psi_q = \Psi_{kq} \frac{L_{aq}}{L_{kkq}} - i_q L''_q = \Psi''_q - i_q L''_q \quad (7)$$

$$\text{onde } \Psi''_q = \Psi_{kq} \frac{L_{aq}}{L_{kkq}}$$

Do enrolamento amortecedor temos:

$$r_{kq} \cdot i_{kq} + \frac{d\Psi_{kq}}{dt} = 0$$

$$\Psi_{kq} = - \int r_{kq} i_{kq} dt \quad (8)$$

De (5) tirando  $i_{kq}$  e substituindo em (8):

$$\Psi_{kq} = - \int r_{kq} \left[ \frac{\Psi_{kq}}{L_{kkq}} + \frac{(L_q - L''_q)}{L_{aq}} \cdot i_q \right] dt \quad (9)$$

Multiplicando-se (9) por  $\frac{L_{aq}}{L_{kkq}}$ :

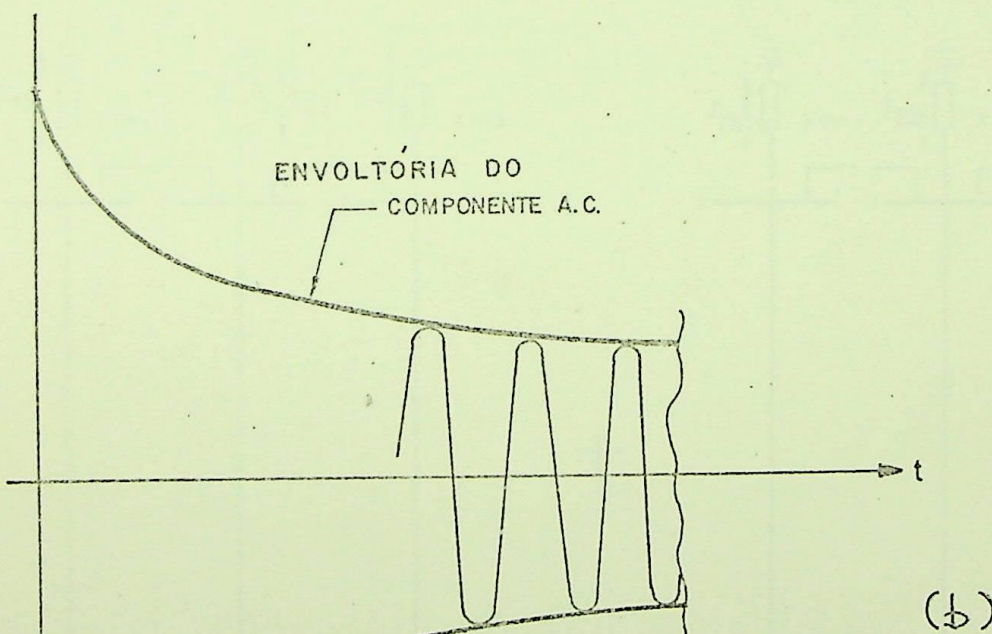
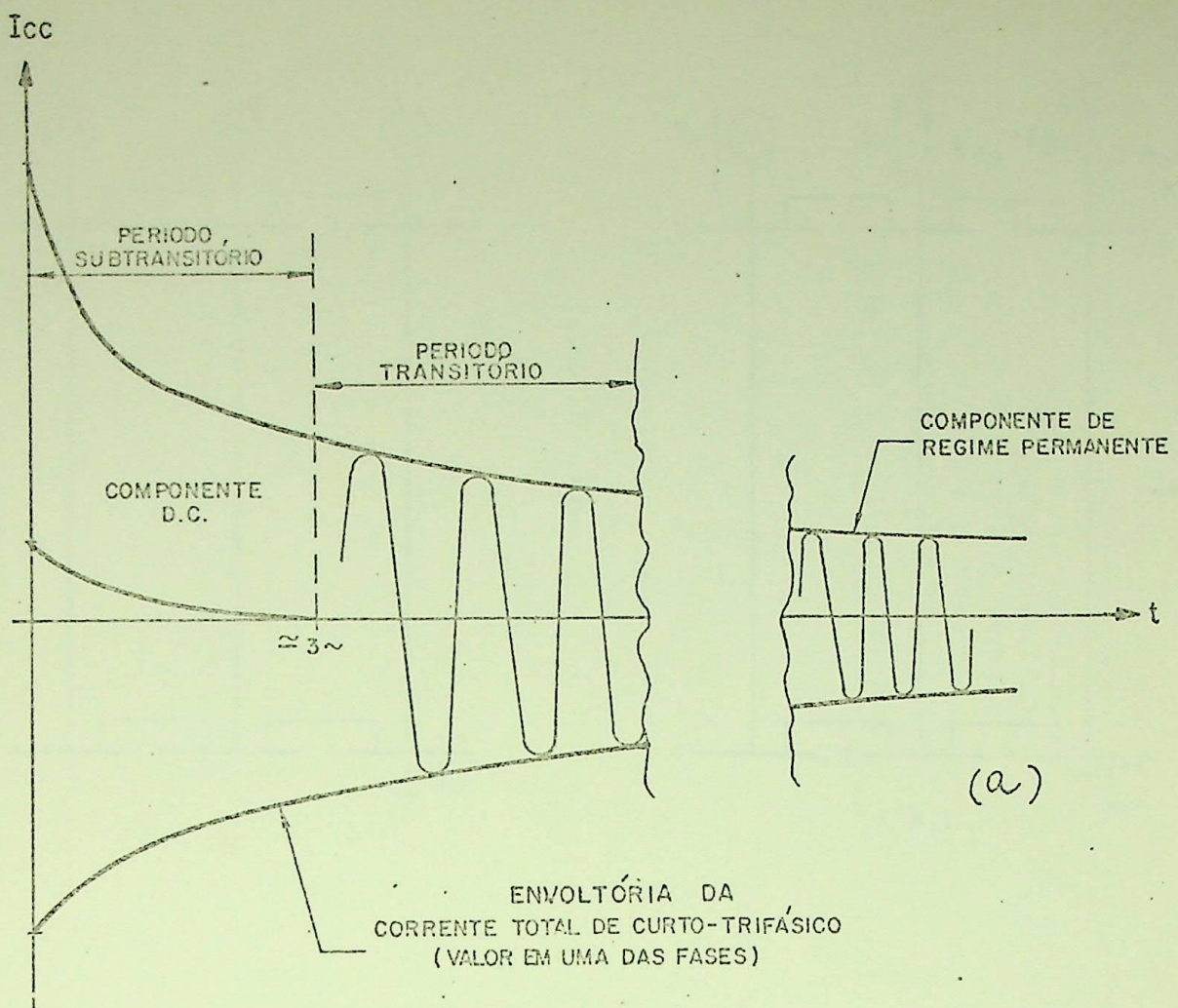
$$\Psi''_q = - \int \frac{r_{kq}}{L_{kkq}} L_{aq} \left[ \frac{\Psi_{kq}}{L_{kkq}} + \left( \frac{L_q - L''_q}{L_{aq}} \right) i_q \right] dt$$

Sendo  $T''_{q0} = \frac{L_{kkq}}{r_{kq}} = \text{constante de tempo sub-transitória de circuito aberto de eixo "q".}$

Vem:

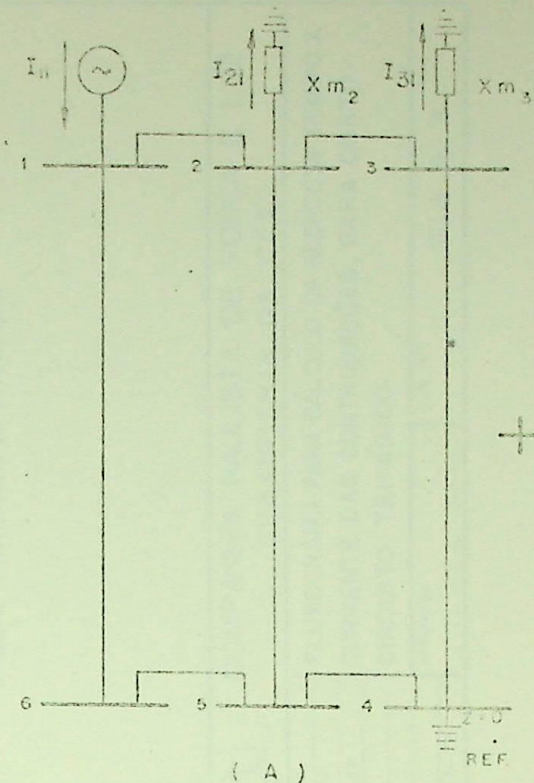
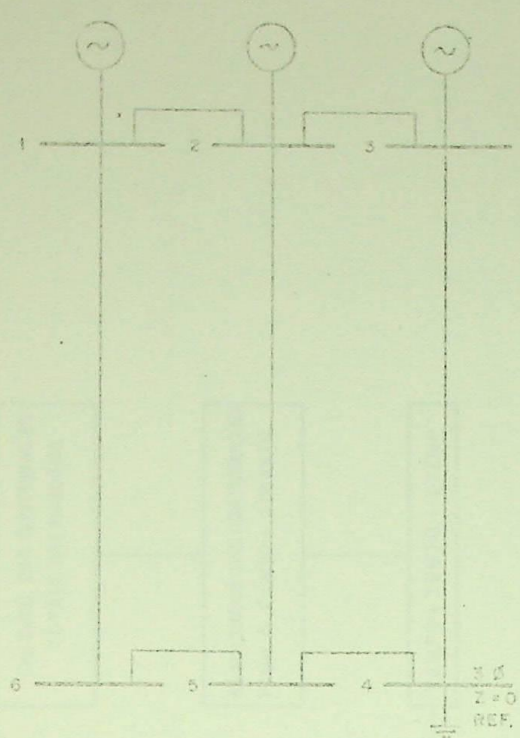
$$\Psi''_q = - \frac{1}{T''_{q0}} \int \left[ \Psi''_q + (L_q - L''_q) i_q \right] dt \quad (10)$$

Das equações (7) e (10) obtemos o diagrama de blocos de eixo "q" da máquina síncrona representados na fig. AN-3-3b.

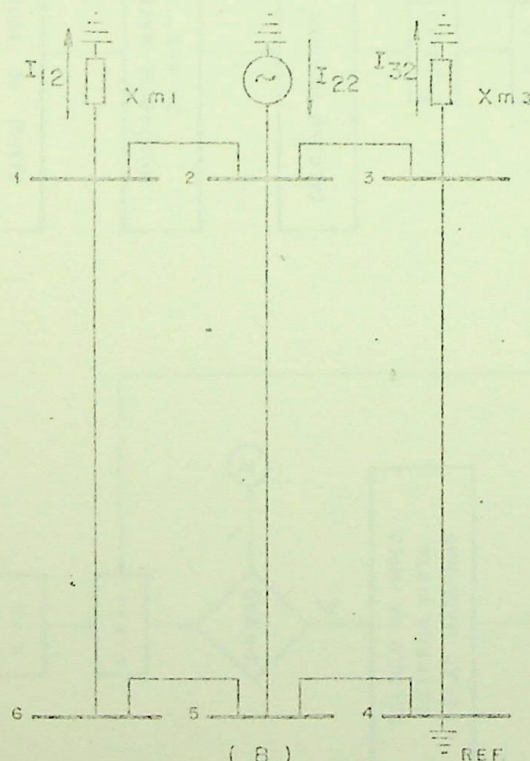


COMPONENTE A.C., D.C. DA CORRENTE TOTAL DE CURTO-CIRCUITO TRIFÁSICO

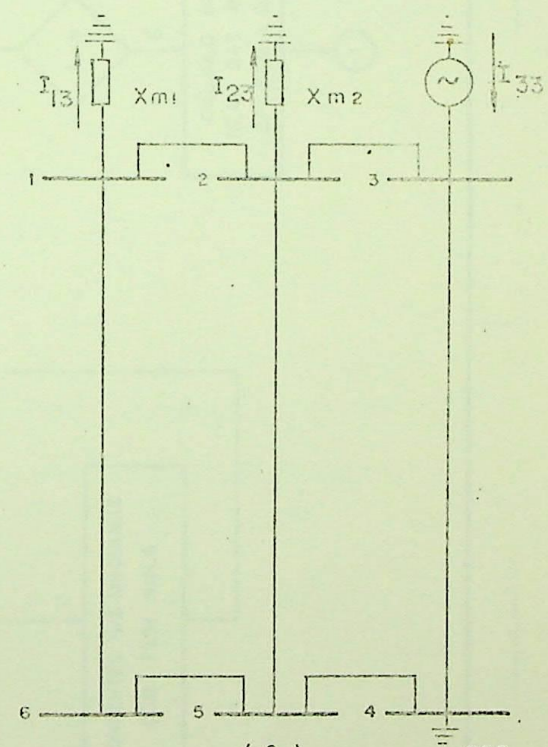
FIGURA 2-1



( A )



( B )



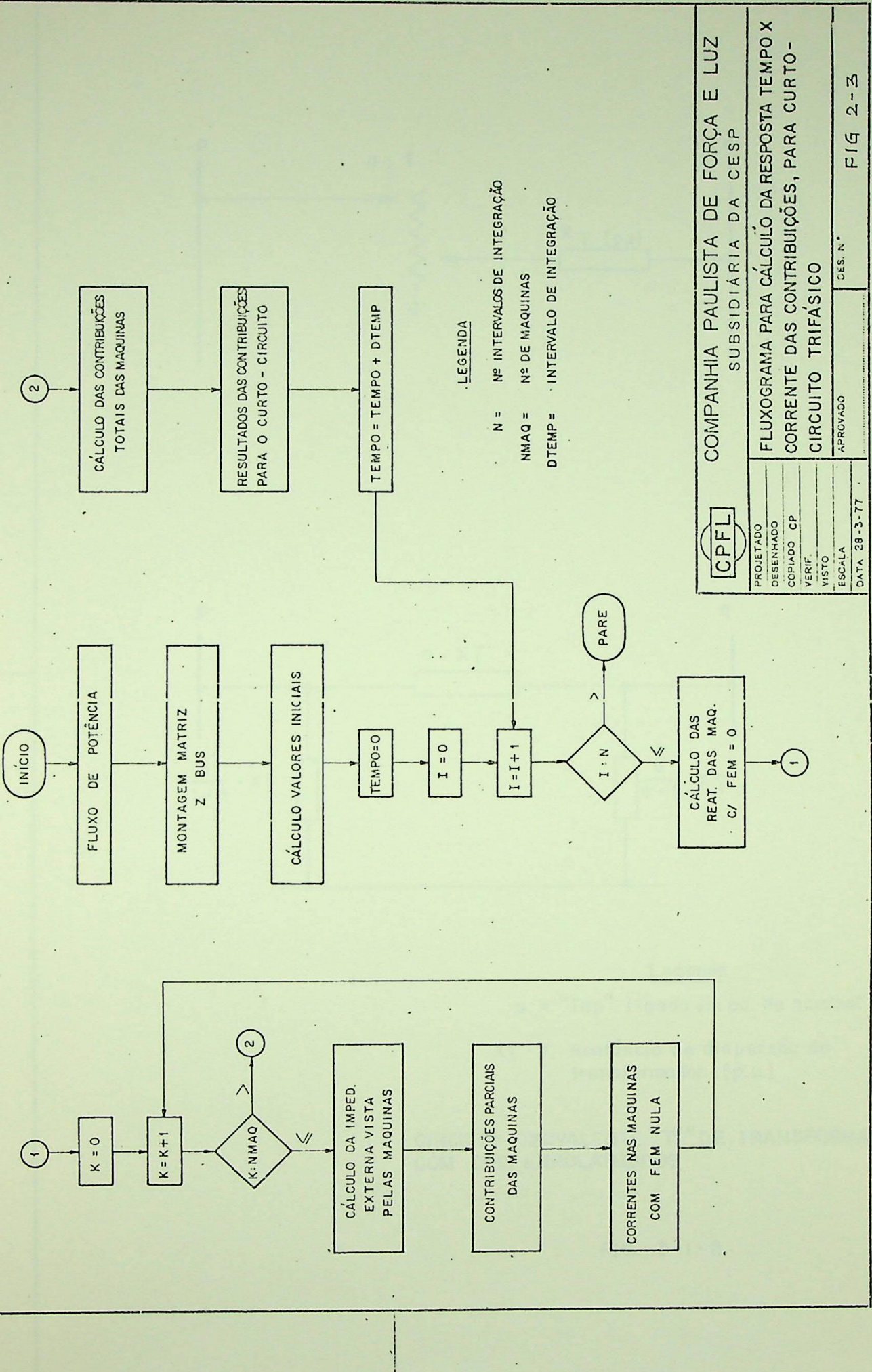
( C )

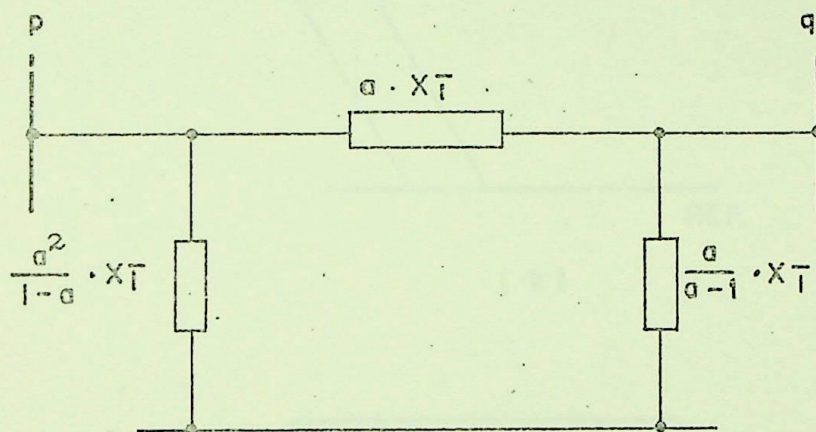
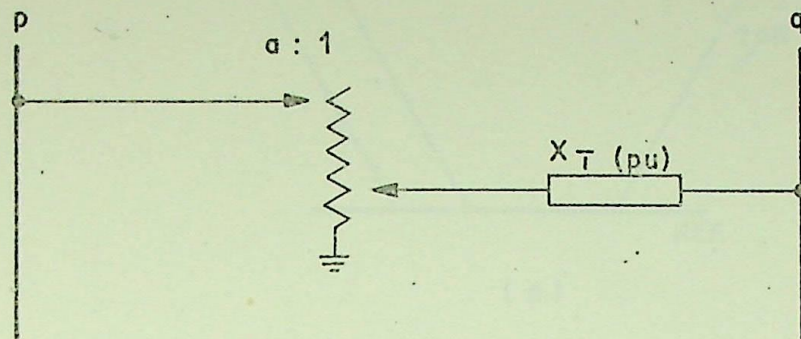
#### LEGENDA

$Xm_i$  - REATÂNCIA DA MÁQUINA "i"  
COM F.E.M. NULA

APLICAÇÃO PRINCIPIO DA SUPERPOSIÇÃO  
PARA DETERMINAÇÃO DAS CONTRIBUIÇÕES

FIG. 2-2





Legenda

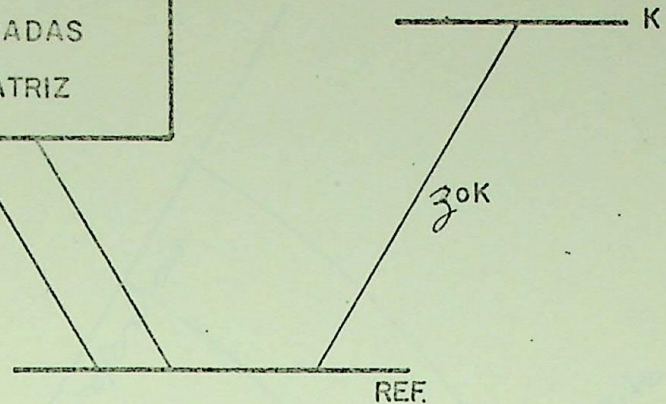
$a$  = "Tap" ligado em pu. do nominal

$X_T$  = Reatância de dispersão do transformador. (p.u.)

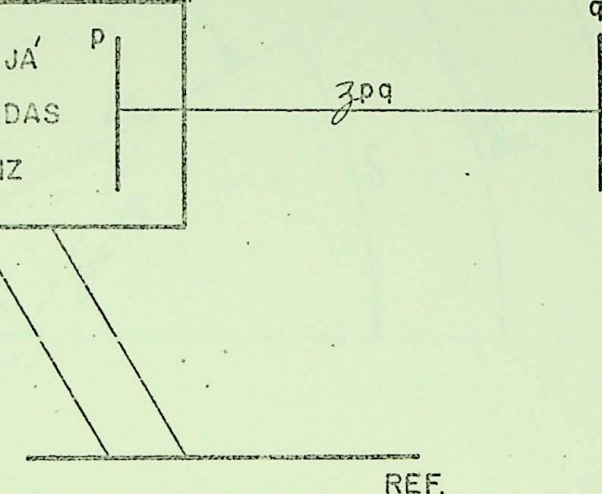
CIRCUITO EQUIVALENTE "T" DE TRANSFORMADOR  
COM DOIS ENROLAMENTOS

FIG. 3-1-2

BARRAS JÁ  
CONSIDERADAS  
NA MATRIZ



BARRAS JÁ  
CONSIDERADAS  
NA MATRIZ



BARRAS JÁ  
CONSIDERADAS  
NA MATRIZ

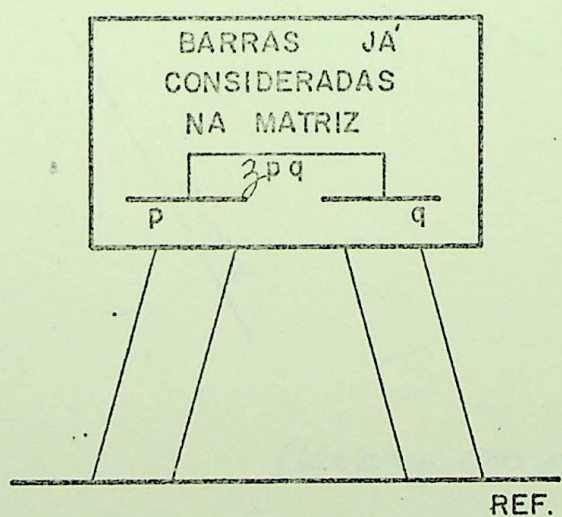
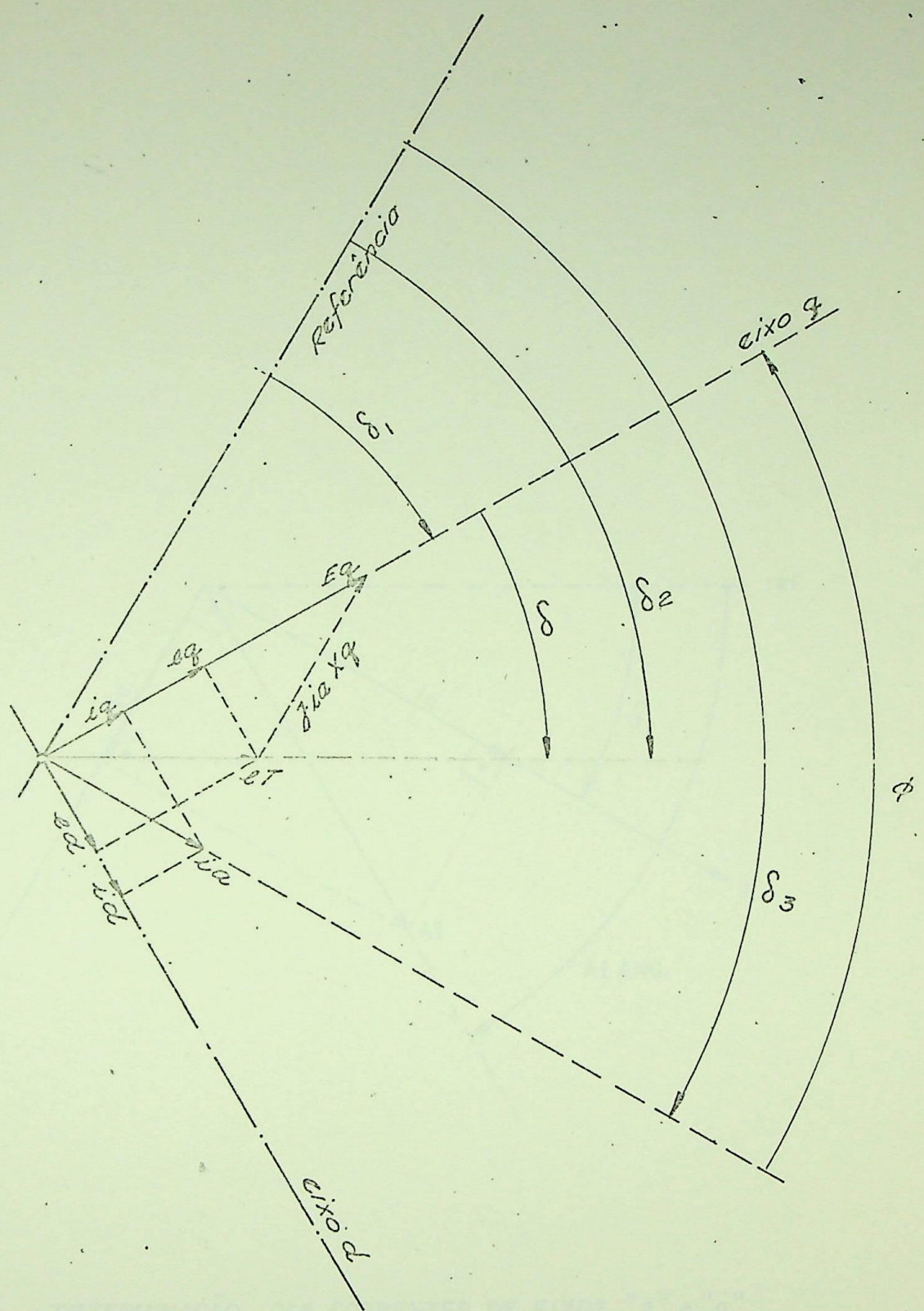
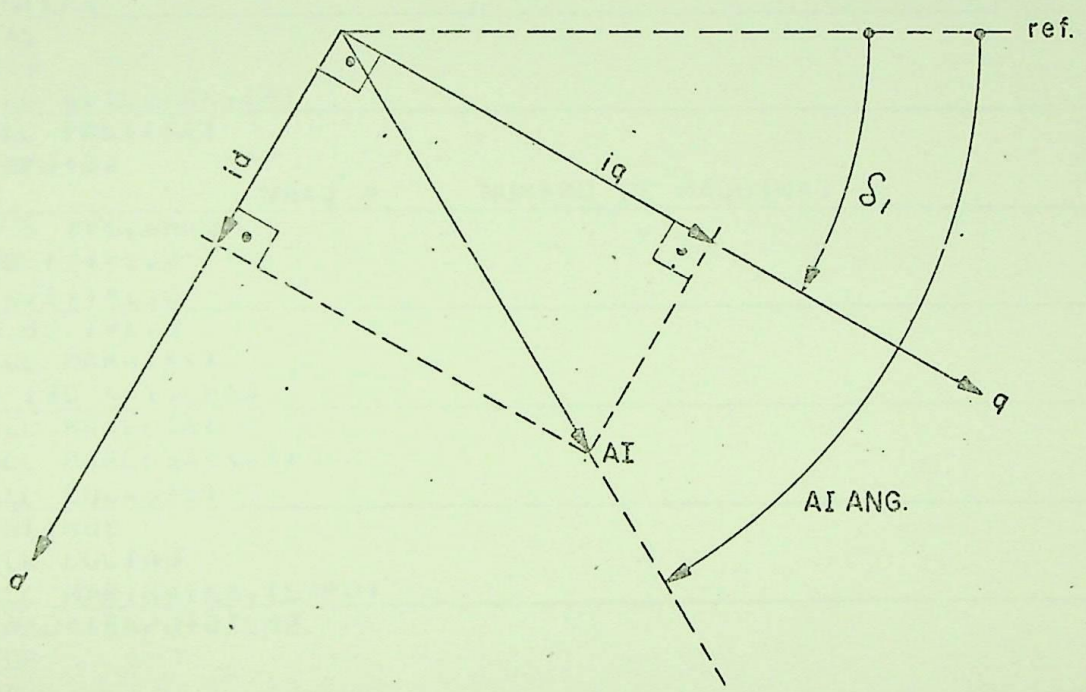


FIG. 3-1-4



(Valores em p.u.)

FIG. 3-2



DETERMINAÇÃO DAS CORRENTES DE EIXOS "d" e "q"

FIG. 3-3

JUN 74 1

OS/360 FORTRAN H

FILE OPTIONS = NAME= MAIN,OPT=00,LINECNT=60,SIZE=0000K,  
 SOURCE,EBCDIC,NODELIST,NUDECK,LOAD,NUMAP,NOEDIT,NGID,NOXREF

CALCULO DE CURVA TRIFASICA RESPOSTA TEMPO X CORRENTE  
 \*\*\* FRANCISCO VACCARI \*\*\*  
 COMPLEX Z,S,I,T,AMP,CRJ,REQ,REAT,ZLL,ZM,A1DQ,AIP,VM,AL,V,AECG,ZENHA  
 \*,ALENA,ZX  
 COMMON A01(10),X01(10),X02(10),XQ(10),XQ2(10),XL(10)  
 COMMON T01(10),T02(10),TQ02(10),PLC1,Q(10),ETM(10),ALFAT(10)  
 COMMON R120,L01,X120,L01,ZLNHA(20),XLNHA(20)  
 COMMON DELT(10),REDU(10),EQ0(10),A100(10),A120(10)  
 COMMON BL1(10),BL2(10),BL3(10),BL4(10),BL5(10),BL6(10)  
 COMMON SA1D(10),SA1D2(10),SA1D3(10),SOMALL(10),SOMA2(10),SOMA3(10)  
 COMMON ALG(10),A1D(10),A1MOD(20),A1ANG(20)  
 COMMON VMUD(20),VANG(20),XMAQ(10),A1DD(10),A1Q(10)  
 COMMON AEL(10),V(10),Z(10),L01,ZLNHA(20),ZM(10),I01,ZX(10),D01  
 COMMON SA1D(10),SA2(10),SA03(10),SOMILL(10),SDH2(10),SDH3(10)  
 COMMON AIP(10),L01,VM(10),REAT(10),ALENA(20)  
 COMMON N,NMAQ,INBARA,GRAUS,DTEMP,RE,XE,LB,NA,NMAX  
 C 14, ALENA  
 KK=5  
 IM=0  
 CALL ALICE(KK,IM)  
 CALL FABER(KK)  
 TEMPO=0.

C NMAQ = NUMERO DE MAQUINAS

DO 5 I=1,NMAQ  
 A1DD(I)=1.0  
 5 A1Q(I)=1.0  
 DO 80 I=1,N  
 CALL MARIA(KK)  
 DO 130 K=L,NMAQ  
 CALL MARCOS(KK)  
 CALL MARCOS(KK,K)  
 CALL LUCAS(K)  
 130 CONTINUE  
 CALL LUCIN  
 CALL MARINA(KK,TEMPO)  
 80 TEMPO=TEMPO+DTEMP  
 STOP  
 END

FACT\* NAME= MAIN,OPT=00,LINECNT=60,SIZE=0000K,

FACT\* SOURCE,EBCDIC,NODELIST,NUDECK,LOAD,NUMAP,NOEDIT,NGID,NOXREF

SOURCE STATEMENTS = 33 , PROGRAM SIZE = 598

NO DIAGNOSTICS GENERATED

COMPILEATION \*\*\*\*

103K BYTES OF CGR

QUADRO 3-1

JUN 74 1

05/350 FORTRAN F

PILER OPTIONS - NAME= MAIN, OPT=00, LINECNT=60, SIZE=2000K,  
 SOURCE, EBCDIC, NOLIST, NODECK, LOAD, NGMAP, NOEDIT, NOID, NBXREF  
 SUBROUTINE ALDE(KK,LM)

C LETURA E IMPRESSAO DOS DADOS

COMPLEX Z,S,E,T,AMP,CXQ,EXC,REAT,ZLL,ZM,A1QQ,A1P,VM,A1,V,A1CC,ZLNHA  
 \*,A1ENA,LX

COMMON XD1(L01),XD1(L01),XD2(L01),XQ(101),XQ2(101),XL(101)  
 COMMON TD01(L01),TD02(L01),TQ02(101),PL(101),QL(101),ETM(L01),ALFAT(101)  
 COMMON R120,L03,XL20,L03,KLNHA(201),XLNHA(201)  
 COMMON DELT(101),ED0(101),EQ0(101),AD0(101),AQ0(101)  
 COMMON BL1(101),BL2(101),BL3(101),BL4(101),BL5(101),BL6(101)  
 COMMON SALD(L01),SALD2(L01),SADB(101),SOMAL(101),SOMAZ(101),SOMAB(101)  
 L101  
 COMMON ALQEL(1),A1D1(1),ALMOD(201),A1ANG(201)  
 COMMON VMOD(201),VANG(201),AMAQ(101),AD00(101),A1QQ(101)  
 COMMON AL1(L01),V(201),Z(201),ZLNHA(201),ZM(101),ZL(101),XL(101)  
 COMMON SAD(L01),SAD2(101),SADB(101),SOM1(101),SOM2(101),SOM3(101)  
 COMMON A1P(L01),VM(101),REAT(101),A1ENA(201)  
 COMMON N,NMAQ,NBARA,GRAUS,DTEMP,RE,XE,LB,NA,NMAX

C \*,A1ENA

READ(LM,1) N,NMAQ,NBARA,GRAUS,DTEMP,NMAX  
 LB=NBARA+NMAQ  
 NA=NMAQ+L  
 WRITE(KK,31)  
 WRITE(KK,41) N,DTEMP,NMAQ,NBARA,GRAUS,NMAX  
 DO 40 I=L,NMAQ

READ(LM,21) XD1(1),XD1(1),XD2(1),XQ(1),XQ2(1),XL(1)  
 READ(LM,21) TD01(1),TD02(1),TQ02(1)  
 READ(LM,21) PL(1),QL(1),ETM(1),ALFAT(1)  
 WRITE(KK,51) L,XD1(1),XD1(1),XD2(1),XQ(1),XQ2(1),XL(1)  
 WRITE(KK,L51) PL(1),QL(1),ETM(1),ALFAT(1)

L5 FORMAT(1X,'POTENCIA ATIVA = ',F10.5,2X,'POTENCIA REATIVA = ',F10.  
 \*5,7,10X,'MODULO DA TENSAO TERMINAL',F10.5,2X,'ANGULO = ',F10.5,1,1,1,  
 \*US'//')

40 WRITE(KK,61)TD01(1),TD02(1),TQ02(1)  
 READ(LM,71)XL(1),J,I=L,L01,(=I,LBI)  
 READ(LM,71)(XL(1),J),J=L,L01,(=I,LBI)  
 READ(LM,71)(RLNHA(1),I=NA,LBI)  
 READ(LM,71)(XLNHA(1),I=NA,LBI)  
 WRITE(KK,31)  
 WRITE(KK,91)(RL(1),I,J=L,L01),(=I,NMAQ)  
 WRITE(KK,101)  
 WRITE(KK,91)(XL(1),J,I=L,L01),(=I,NMAQ)  
 WRITE(KK,111)  
 WRITE(KK,91)(XL(1),I,J=L,L01),(=I,NA,LBI)  
 WRITE(KK,121)  
 WRITE(KK,91)(XL(1),J,I=L,L01),(=I,NA,LBI)  
 WRITE(KK,131)  
 WRITE(KK,91)(RLNHA(1),I=NA,LBI)  
 WRITE(KK,141)  
 WRITE(KK,91)(XLNHA(1),I=NA,LBI)  
 DO 200 I=L,LB  
 DO 300 J=L,NMAQ

300 Z(L,J)=COMPLEX(R(L,J),XL(L,J))  
 C WRITE(6,25) ZLL,J

200 CNT INUE

C 25 FORMAT(1X,'IMPEDANCIA ZUS = ',F10.5,1,1,F12.5)  
 L FORMAT(3L8,2F10.5,1,41)

2 FORMAT(5FL0.5)  
 3 FORMAT(1H1,16X,'CALCULO DE CURTO CIRCUITO TRIFASICO',/22X,'RESPOSTA  
 DA TEMPO CORRENTE',/16X,' TESE DE MESTRADO FRANCISCO VACCARI')  
 4 FORMAT(1H1,21X,'NUMERO INTERVALOS INTEGRACAO =',1B,21X,'INTERVALO  
 DE INTEGRACAO =',FL0.5,'SEG',/21X,'NUMERO DE MAQUINAS  
 3 =',1B,/21X,'BARRAS ADJACENTES AO CURTO =',1B,18,/21X,'CONVERSAD  
 4 RADIANOS/GRaus =',FL0.5,'MAX ITERACOES=1,18)  
 5 FORMAT(1H1,10X,'MAQUINA NO',1B,/10X,'XD=',FL0.5,2X,'XDL=',FL0.5,'X  
 LD2=',FL0.5,2X,'XQ=',FL0.5,2X,'XQ2=',FL0.5,2X,'XL=',FL0.5)  
 6 FORMAT(1H1,10X,'TDO1=',FL0.5,2X,'TDO2=',FL0.5,2X,'TQD2=',FL0.5)  
 7 FORMAT(1H1,F8.4)  
 8 FORMAT(1H1,10X,'MATRIZ ZBARRA-RESISTENCIA PROPRIA E DE TRANSF. EN  
 ENTRE MAQUINAS',/1)  
 9 FORMAT(1H1,10(F8.4,2X))  
 10 FORMAT(1H1,10X,'MATRIZ ZBARRA- REATANCIA PROPRIA E DE TRANSF. ENTRE  
 EM MAQUINAS',/1)  
 11 FORMAT(1H1,10X,'MATRIZ ZBARRA- RESIST. MUTUAS ENTRE BARRAS ADJACE.  
 LAD CURTO E MAQUINAS',/1)  
 12 FORMAT(1H1,10X,'MATRIZ ZBARRA- REATANCIAS MUTUAS ENTRE BARRAS ADJA  
 CENES AO CURTO E MAQUINAS',/1)  
 13 FORMAT(1H1,10X,'RESISTENCIA DAS LTS ENTRE BARRAS ADIAC AO CURTO E  
 LBARRA EM CURTO',/1)  
 14 FORMAT(1H1,10X,'REATANCIAS DAS LTS ENTRE BARRAS ADIAC AO CURTO E  
 LBARRA EM CURTO',/1)  
 RETURN  
 END

EFFECT\* NAME= MAIN,OPT=00,LINECNT=60,SIZE=0000K,  
 EFFECT\* SOURCE,EBCDIC,NOLIST,NOECK,LOAD,NOMAP,NOEDIT,NOID,NOXREF  
 SOURCE STATEMENTS = 63 ,PROGRAM SIZE = 3560  
 NO DIAGNOSTICS GENERATED .  
 COMPILEATION \*\*\*\*\* 83K BYTES OF CORE

JUN 74

05/360 FORTRAN H

10

AMPLER OPTIONS - NAME= MAIN,OPT=00,LINECNT=60,SIZE=0000K,  
 SOURCE,EBCDIC,NODECT,NODECK,LOAD,NOMAP,NODEIT,NODD,NOXREF  
 SUBROUTINE FAB(KK)

C CALCULOS DOS VALORES INICIAIS

COMPLEX Z,SIE,VM,CAQ,ECQ,REAL,ZLL,ZM,AIDQ,AIP,VM,AL,V,AICQ,ZLNHA  
 \*,AELNA,ZK

COMMON XD1(L01),XD11(L01),XD2(L01),XQ1(L01),XQ2(L01),XL(L01)  
 COMMON TD1(L01),TD2(L01),TD22(L01),PL1(L01),QL1(L01),ETM(L01),ALFAT(L01)  
 COMMON R120,L01,X120,L01,RHNH(20),XLNH(20)  
 COMMON DELT(L01),EDOL(L01),EQD(L01),AIDD(L01),AIDQ(L01)  
 COMMON BL1(L01),BL2(L01),BL3(L01),BL4(L01),BL5(L01),BL6(L01)  
 COMMON SA1D1(L01),SA1D2(L01),SA1D3(L01),SOMA1(L01),SOMA2(L01),SOMA3(L01)  
 COMMON ALQ(L01),ALD(L01),ALMOD(20),ALANG(20)  
 COMMON VMOD(20),VANG(20),AMAR(10),ALDD(L01),ALQQ(L01)  
 COMMON AL1(L01),V1(20,10),ZLNHA(20),ZM(L01),L01,ZXL(L01)  
 COMMON SA2(L01),SA22(L01),SA3(L01),SOM1(L01),SOM2(L01),SOM3(L01)  
 COMMON AIP(10,10),VM(10),REAL(10),AELNA(20)  
 COMMON N,NMAQ,NBARA,GRAUS,DTEMP,RE,XE,LB,NA,NMAX

C \*

C \* ,AELNA

DO 20 I=L,NMAQ

S=CMPLEX(P1(I),Q1(I))

ALFAT(I)=ALFAT(I)/GRAUS

ETR=ETM(I)\*COS(ALFAT(I))

ETIM=ETM(I)\*SIN(ALFAT(I))

ET=CMPLEX(ETR,ETIM)

AMP=CONJG(S\*ET)

UX0=CMPLEX(0.,XQ1(I))

EQC=ET+AMP\*CAQ

DELT1(I)=ATAN2(AIMAG(ECQ),REAL(ECQ))

DELT2=ATAN2(AIMAG(ET),REAL(ET))

DELTA=DELT1(I)-DELT2

EDOL(I)=CABS(SETI)\*SIN(DELT1)

EQD(I)=CABS(SETI)\*COS(DELT1)

DELT3=ATAN2(AIMAG(AMP),REAL(AMP))

FL=DELT1(I)-DELT3

AIDD(I)=CABS(AMP)\*SIN(FL)

ALQD(I)=CABS(AMP)\*COS(FL)

DELT4=DELT1(I)\*GRAUS

DELT5=DELT2\*GRAUS

DELT6=DELT3\*GRAUS

FL=FL\*GRAUS

WR1(EKK,L51)

WRITE(EKK,L51) DELT1(I),DELT2,DELT3,FL,DELTA

WRITE(EKK,L51) AIDD(I),ALQD(I),EDO(I),EQD(I)

C CALCULOS PRELIMINARES

BL1(I)=(XD1(L1)-XD2(L1))/(XD1(L1)-XL(L1)\*\*2)

BL2(I)=XD1(L1)-XL(L1)

BL3(I)=(XD1(L1)-XD2(L1))/(XD1(L1)-XL(L1))

BL4(I)=XD1(L1)-XD1(L1)

BL5(I)=XQ1(L1)-XQ2(L1)

BL6(I)=(XD2(L1)-XL(L1))/(XD1(L1)-XL(L1))

WR1(EKK,L51) BL1(I),BL2(I),BL3(I),BL4(I),BL5(I),BL6(I)

SA1D1(I)=0.

SA1D2(I)=0.

SA1D3(I)=0.

SOMA1(I)=0.

QUADRO 3-4

```

SOMA2(1)=0,
SOMA3(1)=0,
SAD1(1)=0,
SAD2(1)=0,
SAD3(1)=0,
SUM1(1)=0,
SUM2(1)=0,
SUM3(1)=0,
A1(1)=ALQU1
DELT1(1)=DELT1(1)/GRAUS
20 A1D(1)=A1D(1)
15 FORMAT(//10X,'VALORES INICIAIS E CONSTANTES DOS DIAS, DE SLOCOS
LMAQUINA NOT',1B,1//)
16 FORMAT(10X,'DELTA1='!,F12.5,'DELTA2='!,F12.5,'DELTA3='!,F12.5,'E1='!,F
12.5,'DELTA='!,F12.5)
17 FORMAT(//10X,'E00='!,F12.5,'E00='!,F12.5,'EQ0='!,F12.5,'EL0='!,F12.5)
18 FORMAT(//10X,'BL1='!,F3.4,'BL2='!,F3.4,'BL3='!,F3.4,'BL4='!,F3.4,'BL5='
!,F3.4,'BL6='!,F3.4)
RETURN
END

```

\* NAME= MAIN,OPT=00,LINECNT=60,SIZE=0000K,

\* SOURCE RECD(C,NOLIST,NUDECk,LOAD,NOMAP,NOEDIT,NUID,NOAREF

SOURCE STATEMENTS = 68 , PROGRAM SIZE = 2532

DIAGNOSTICS GENERATED

INITIATION \*\*\*\*\*

91K BYTES OF CORE

JUN 74 1

CS7360 FORTRAN H

PILER OPTIONS = NAME= MAIN,OPT=00,LINECNT=60,SIZE=0000K,  
 SOURCE,EBCDIC,NOLIST,NOECK,LOAD,NOMAP,NOEDIT,NOIO,NOREF  
 SUBROUTINE MARATKA  
 C CALCULO DA REATANCIA DAS MAQUINAS COM FEM NULAS  
 COMMON Z, SIE, TAMP, CAV, EQU, REAT, ZLL, ZR, AIDQ, AIP, VM, AL, V, AECG, ZLNHA  
 \* ,AELNA, ZK  
 COMMON XD(10), XDEL(10), XD2(10), XQ(10), XQ2(10), XL(10)  
 COMMON TD01(10), TD02(10), TD03(10), P(10), Q(10), ETM(10), VALFAT(10)  
 COMMON K1Z0(10), K2Z0(10), KLNHA(20), XLNHA(20)  
 COMMON DELT(10), EDO(10), EQQ(10), AIDC(10), AEDC(10)  
 COMMON BL1(10), BL2(10), BL3(10), BL4(10), BL5(10), BL6(10)  
 COMMON SADE(10), SAD2(10), SAIDB(10), SUMAL(10), SUMAZ(10), SUMAB(10)  
 L101  
 COMMON ALQ(10), AID(10), ALMCD(20), ALANG(20)  
 COMMON VASD(20), VANS(20), XMAQ(10), ALD(10), ALQQ(10)  
 COMMON AL1(10), AL2(10), V(20), Z(20), L(10), ZLNHA(20), ZMELD(10), ZX(10), LS(10)  
 COMMON SADL(10), SAD2(10), SAD3(10), SOM1(10), SOM2(10), SOM3(10)  
 COMMON ALP(10), VM(10), REAT(10), AELNA(20)  
 COMMON NNMAQ, INBARA, GRADS, DTEMP, RE, XE, LB, NA, NMAY  
 DO 100 L=1, NMAY  
 VA1=SAD2(L)\*BL3(L)+SAD1(L)\*BL6(L)  
 EQ=VA1-XD2(L)\*AID(L)  
 ED=XQ2(L)\*ALQQ(L)-SAIDB(L)  
 XMAQ(L)=SQRT(EQ\*EQ+ED\*ED)/(SQRT(ALD(L)\*ALD(L)+ALQ(L)\*ALQ(L))  
 \*  
 WR ITE(KK,32) L,XMAQ(L)  
 VA3=SAD1(L)+BL4(L)\*(AID(L)+BL1(L)\*(SAD1(L)-SAD2(L)-BL2(L)\*AEDD(L)))  
 \*  
 ENTR1=VA3\*(-1./TD01(L))  
 ENTR2=(-1./TD02(L))\*(-SAD1(L)-SAD2(L)-BL2(L)\*AEDD(L))  
 ENTR3=(-1./TD03(L))\*(-SAD3(L)+BL5(L)\*ALQQ(L))  
 ALL=ENTR1\*DTEMP  
 A22=ENTR2\*DTEMP  
 A33=ENTR3\*DTEMP  
 SOM1(L)=SOM1(L)+ALL/2.  
 SOM2(L)=SOM2(L)+A22/2.  
 SOM3(L)=SOM3(L)+A33/2.  
 100 CONTINUE  
 32 FORMAT(77UX,'REATANCIA DA MAQUINA',14,'COM FEM NULA=',F8.4)  
 RETURN  
 END

FFECT\* NAME= MAIN,OPT=00,LINECNT=60,SIZE=0000K,

FFECT\* SOURCE,EBCDIC,NOLIST,NOECK,LOAD,NOMAP,NOEDIT,NOIO,NOREF

SOURCE STATEMENTS = 37 , PROGRAM SIZE = 1508

NO DIAGNOSTICS GENERATED

COMPILE ATION \*\*\*\*

153K BYTES OF CORE

ON 74 1

DS/360 FORTRAN H

(3)

FILE OPTIONS = NAME= MAIN,OPT=00,LINECNT=60,SIZE=0000K,  
SOURCE,EBCDIC,NOLIST,NODECK,LOAD,NOMAP,NOEDIT,NOIO,NOXREF

SUBROUTINE MARKUP

C CALCULO DA IMPEDANCIA EXTERNA VISTA PELAS MAQUINAS

C COMPLEX Z,S,ET,AMP,CARTEQU,REAT,ZLL,ZH,A1DQ,A1P,VM,A1V,A1C0,ZLNHA  
\*,A1ENA,ZX  
COMMON X01(10),X02(10),X03(10),X04(10),X05(10)  
COMMON T01(10),T02(10),T03(10),T04(10),T05(10),T06(10),T07(10)  
COMMON K120,LC1,X120(10),XLNHA(20),XLNHA(20)  
COMMON DELT(10),EDU(10),EQD(10),ALD(10),AIQD(10)  
COMMON BL1(10),BL2(10),BL3(10),BL4(10),BL5(10),BL6(10)  
COMMON SALD1(10),SALD2(10),SALD3(10),SUMA1(10),SUMA2(10),SUMA3(10)  
L101  
COMMON A1U(10),A1D(10),A1M(20),A1ANG(20)  
COMMON VMUD(20),VANG(20),XMAQ(10),A1DD(10),A1RQ(10)  
COMMON AL10,L01,V1(20),Z120,L01,ZLNHA(20),ZM(10,L01),ZX(10,L01)  
COMMON SAD1(10),SAD2(10),SAD3(10),SOM1(10),SOM2(10),SOM3(10)  
COMMON ALP1(10,L01),VM(10),REAT(10),A1ENA(20)  
COMMON N,NMAQ,NBARKA,GRAUS,DTEMP,RE,XE,LB,NA,NMAX

C \*,A1ENA

DO 300 JK=L,NMAQ

DO 400 JL=1,NMAQ

400 ZX(JK,JL)=Z(JK,JL)

300 CONTINUE

DO 700 JK=L,NMAQ

IF(JK-K)750,700,750

750 REAT(JK)=COMPLEX(XMAQ(JK))

ZLL=Z(JK,JK)\*REAT(JK)

DO 600 JL=1,NMAQ

DO 500 JM=1,NMAQ

500 ZM(JL,JM)=ZK(JL,JM)-ZX(JL,JK)\*ZX(JK,JM)/ZLL

WRITER(5,1) ZM(JL,JM)

C E FORMAT(10X,'ZM = ',F10.5,' + ',F10.5i)

600 CONTINUE

DO 20 JL=1,NMAQ

DO 10 JM=1,NMAQ

10 ZX(JL,JM)=ZM(JL,JM)

20 CONTINUE

700 CONTINUE

REAL(ZM(K,K))

XE=ALMAS(ZM(K,K))

RETURN

END

EJECT\* NAME= MAIN,OPT=00,LINECNT=60,SIZE=0000K,

EJECT\* SOURCE,EBCDIC,NOLIST,NODECK,LOAD,NOMAP,NOEDIT,NOIO,NOXREF

SOURCE STATEMENTS = 35 , PROGRAM SIZE = 1294

10 DIAGNOSTICS GENERATED

JUMP LOCATION \*\*\*\*\*

103K BYTES OF CORE

QUADRO 3-7

PILER OPTIONS - NAME= MAIN, OPT=00, LINECNT=50, SIZE=9300K,  
 SOURCE=EDC01.C, NOLIST, NIDECK, LOAD, NOMAP, NOEDIT, NOIO, NOXREF  
 SUBROUTINE MARCUSINRKF  
 C CALCULO DAS CENTRÍGULOS PARCIAIS DAS MAQUINAS  
 COMPLEXA Z=S1ET,AMP,CXQ,EQC,REAT,ZLL,ZM,AIDQ,AIR,VM,AT,V,AICG,ZLNH  
 \* , ALENAR  
 COMMON XDL1(10),XDL1(10),XD2(10),XQ1(10),XQ2(10),XL1(10)  
 COMMON TDLL1(10),TD2(10),TQ2(10),PL1(10),QL1(10),TM1(10),ALFAT(10)  
 COMMON RL20,L10,KL20,L01,KLNHA(20),KLNH4(20)  
 COMMON DELT1(10),EDC1(10),ECQ1(10),AIDC1(10),AEND1(10)  
 COMMON BL1(10),BL2(10),BL3(10),BL4(10),BL5(10),BES(10)  
 COMMON SALDL1(10),SALD2(10),SALD3(10),SUMALL(10),SUMAZ1(10),SUMAB1  
 L101  
 COMMON ALQ1(10),ALD1(10),ALMOD(20),ALANG(20)  
 COMMON VMOD(20),VANG(20),XMOD(10),ALOD(10),ALQ2(10)  
 COMMON AL1(10),101,V120,I120,101,ZLNH4(20),ZM(10),101,ZX(10),ED1  
 COMMON SADL1(10),SAD2(10),SAD3(10),SUMER(10),SUM2(10),SUM3(10)  
 COMMON AIPLL1(10),VNL(10),REAT1(10),ALENA(20)  
 COMMON N,NMAXQ,NBARA,GRaus,DTEMP,PRE,KE,LB,NA,NMAX  
 C \* , ALEN  
 VAK=EALD2(K)\*BL2(K)+SALD1(K)\*BL6(K)  
 AK2=11,17/1K\*RE+FAC\*XK1  
 AK1=11,17/1L+FAC2\*KD2(K)\*XK1  
 A=-AK1\*ALD0(K)\*FAK\*-AK2\*(RE\*(ED0(K)-SALD2(K))FAK+XQD1\*KEFVAR1)  
 B=AK1\*AK2\*XQ2(K)\*XK1  
 AK3=(1,17/1L+AK2\*XQ2(K)\*XK1)  
 C=-AK3\*ALQD1\*FAK3\*AK2\*(RE\*(ED0(K)\*FVER1)-KE\*(ED0(K)-SALD2(K)))  
 D=-AK3\*AK2\*KD2(K)\*XK1  
 WRITE(KK,114,B,C,D)  
 1 FORMAT(1DX,1A=1,F10.4,1B=1,F10.4,1C=1,F10.4,1D=1,F10.4)  
 J=0  
 XY=0.  
 NZ=0.  
 DIQ=XY  
 5 D1D=A+B\*D1Q  
 DIQ=C\*D1D  
 AA=ABS(D1D-NZ)  
 BB=ABS(D1Q-XY)  
 IF(AA-0.001)10,15  
 10 IF(BB-0.001)15,15  
 15 NZ=D1D  
 XY=D1Q  
 J=J+1  
 IF(J-NMAX15,5,17  
 17 WRITE(KK,ZINMAX  
 2 FORMAT(1DX,1D0) NUMERO MAXIMO DE ITERACOES 1,18,1FO1 EXCEDIDO)  
 16 WRITE(KK,31D1D)101  
 3 FORMAT(1DX,1D1D=1,F10.4,1D1Q=1,F10.4)  
 C  
 C  
 C  
 AID1(K)=D1D\*ALD0(K)  
 ALQ1(K)=DIQ+A1Q1(K)  
 WRITE(KK,Z01K1AID1(K))A1Q1(K)  
 WRITE(KK,33)K1KE  
 VAR3=SALD1(K1)+BL4(K1)\*(D1D+BL1(K1)\*(SALD1(K1)-SALD2(K1)-BL2(K1)\*D1D))  
 ENT1=VAR3\*(-1./TDL1(K1))  
 ENT2=(-1./TDL2(K1))\*(SALD1(K1)-SALD2(K1)-BL2(K1)\*D1D)

ENT3=(-1./TQ02(K))\*[SA1D3(K)+D1Q\*BL5(K)]  
L INTEGRACAO BACKWARD DIFFERENCE

A1=ENT1\*DTEMP

A2=ENT2\*DTEMP

A3=ENT3\*DTEMP.

SUMA1(K)=SUMA1(K)+A1

SUMA2(K)=SUMA2(K)+A2

SUMA3(K)=SUMA3(K)+A3

SA1D1(K)=SUMA1(K)+A1/2.

SA1D2(K)=SUMA2(K)\*A2/2.

SA1D3(K)=SUMA3(K)\*A3/2.

DELT1(K)=DELT1(K)/GRAUS

A1Q=CMPLX(A1D(K),A1Q(K))

GAMA1=ATAN2(A1MAG(A1Q),REAL(A1Q))

GAMA2=GAMA1-PI/4.

GAMA3=DELT1(K)\*GAMA2

CURR=SQRT(A1D(K)\*A1Q(K)\*A1Q(K)\*A1Q(K))

AIR=CURR\*COS(GAMA3)

AIM=CURR\*SIN(GAMA3)

AIP(K,K)=CMPLX(AIR,AIM)

A1MOD(K)=CABS(AIP(K,K))

A1ANG(K)=ATAN2(AIMAS(AIP(K,K)),REAL(AIP(K,K)))

A1ANG(K)=A1ANG(K)\*GRAUS

30 WRITE(KK,21)K,AIR,AIM,A1MOD(K),A1ANG(K)

33 FORMAT(//,LOX,'RESISTENCIA VESTA PELA MAQUINA',I4,I=1,F8.4,I,LOX,'RE'  
LATANCIA=',LOX,F8.4)

20 FORMAT(//,LOX,'MAQUINA',I3,I=1,F8.4,I=1,F8.4,I=1,F8.4)

21 FORMAT(//,LOX,'MAQUINA',I3,I=1,F8.4,I=1,F8.4,I=1,F8.4,I=1,F8.4,I=1,F8.4,I=1,F8.4)

RETURN

END

FECT\* NAME= MAIN,OPT=OC,LINECNT=60,SIZE=0000K,

FECT\* SOURCE,EBCDIC,NOLIST,NODECK,LOAD,NOMAP,NOEDIT,NOID,NOXREF

SOURCE STATEMENTS = 76 , PROGRAM SIZE = 3030

ID DIAGNOSTICS GENERATED

DUMP ILLATION \*\*\*\*\*

91K BYTES OF CORE

QUADRO 3-9

JN 74 1

DS/360 FORTRAN H

ILER OPTIONS = NAME= MAIN,OPT=00,LINECNT=60,SIZE=0000K,  
SOURCE,EBCDIC,NOLIST,NODECK,LOAD,NOMAP,NOEDIT,NOID,NOXREF  
SUBROUTINE LUCAS1K  
C CALCULO DAS CORRENTES DAS MAQUINAS COM FEM NU LAS  
C  
COMPLEX Z,SET,AMP,CXQ,REQ,REAT,ZLL,ZM,AEDQ,AIP,VM,AL,V,AICQ,ZLNH  
\*,A1LNA,ZX  
COMMON X01(L01),X02(L01),X03(L01),X04(L01),X05(L01),XL(L01)  
COMMON T001(L01),T002(L01),T003(L01),P(L01),Q(L01),ETM(L01),ALFA(L01)  
COMMON K120,L01,K120,L01,ZLNHA(20),ZLNHA(20)  
COMMON DELT(L01),EDOT(L01),EQD(L01),AEDD(L01),AEND(L01)  
COMMON DEL(L01),BL2(L01),BL3(L01),BL4(L01),BL5(L01),BL6(L01)  
COMMON SADEL(L01),SAD2(L01),SAD3(L01),SOMAL(L01),SOMAZ(L01),SOMAB(L01)  
COMMON ALQ(L01),AID(L01),ALMOD(20),ALANG(20)  
COMMON VMOD(20),VANG(20),XMAQ(L01),AEDD(L01),AEQD(L01)  
COMMON AL(L01),L01,V(20),L(20,10),ZLNHA(20),ZM(L01),L01,ZX(L01,10)  
COMMON SAD(L01),SAD2(L01),SAD3(L01),SOMAL(L01),SOMAZ(L01),SOMB(L01)  
COMMON AIP(L01),VM(L01),REAT(L01),A1LNA(20)  
COMMON NINMAQ,NBARKA,SGRUS,DTEMP,RE,XE,LB,NA,NMAX  
C \*,A1LNA  
DD 800 JM=1,NMAQ  
F1(M-K120,800,80  
800 VM(JM)=AIP(K,K)\*ZM(JM,K)  
A(IPLJM,K)= -VM(JM)/REAT(JM)  
AIPMO=CA(B1AIP(LJM,K))  
C ARITEIS,LT AIPMO  
C E FORMAT(7/6X,'MODULO DE CORRENTE DO GERADOR NA SUB LUCAS',I4,5)  
800 CONTINUE  
RETURN  
END

IEL \* NAME= MAIN,OPT=00,LINECNT=60,SIZE=0000K,

IEL \* SOURCE,EBCDIC,NOLIST,NODECK,LOAD,NOMAP,NOEDIT,NOID,NOXREF

SOURCE STATEMENTS = 22 , PROGRAM SIZE = 694

I DIAGNOSTICS GENERATED

IMPLEMENTATION \*\*\*\*\*

103K BYTES OF CDR

QUADRO 3-10

JUN 74

DS/360 FORTRAN H

ENTER OPTIONS - NAME= MAIN,OPT=00,LINECNT=60,SIZE=0000K,  
SOURCE,EBCDIC,NOLIST,NUDECK,LOAD,NOMAP,NOEDIT,NOED,NOXREF  
SUBROUTINE LOCINO  
C CALCULO DAS CONTRIBUICÕES TOTAIS DAS MAQUINAS  
COMPLEX Z, ZETAMP, CXQ, REAT, ZLL, ZM, ALQ, AIP, VM, AI, V, ALCG, ZUNE  
\*, AILNA, ZX  
COMMON XD(10), XDL(10), XD2(10), XQ(10), XQ2(10), XL(10)  
COMMON TD(10), TU(10), TQ(10), PL(10), QL(10), ETM(10), ALFAT(10)  
COMMON R(20), LC(10), X(20), LC(10), XENHA(20), XLENHA(20)  
COMMON DELT(10), EDO(10), EQO(10), ADDC(10), ADQC(10)  
COMMON BL(10), BL2(10), BL3(10), BL4(10), BL5(10), BL6(10)  
COMMON SALDEL(10), SALDZ(10), SALDB(10), SOMAL(10), SOMAZ(10), SUMAB(10)  
L101  
COMMON ALQ(10), ADD(10), ALMOD(20), ALANG(20)  
COMMON VMOD(20), VANG(20), XMAQ(10), AEDC(10), AEQQ(10)  
COMMON ALI(10), L01, V(20), Z(20), L01, ZENHA(20), ZM(10), L01, ZXL(10), L01  
COMMON SAD1(10), SAD2(10), SAD3(10), SOMU(10), SOMZ(10), SUMB(10)  
COMMON AIP(10), L01, VM(10), REAT(10), AILNA(20)  
COMMON NENMAQ, NSBARA, GRAUS, DTEMP, RE, XE, LB, NA, NMAG  
C \* , AILNA  
DU 820 JM=L, NMAG  
ALIM, IMI=COMPLEX(0,0), I  
C ALMAS(ALLJM, JMI)=0.  
DU 830 JL=L, NMAG  
ALIM, IMI=ALIM, IMI+AIP(IM, JL)  
ALMOD(JMI)=CABS(ALIM, JMI)  
ALANG(JMI)=ALANZ(ALMAS(ALLJM, JMI), REAL(ALIM, JMI))  
XX=DELT(JMI)-ALANG(JMI)  
ALDD(JMI)=ALMOD(JMI)\*COS(XX)  
ALANG(JMI)=ALANG(JMI)\*GRAUS  
820 CONTINUE  
RETURN  
END

ECT\* NAME= MAIN,OPT=00,LINECNT=60,SIZE=0000K,

ECT\* SOURCE,EBCDIC,NOLIST,NUDECK,LOAD,NOMAP,NOEDIT,NOED,NOXREF

SOURCE STATEMENTS = 27 , PROGRAM SIZE = 972

D DIAGNOSTICS GENERATED

COMPILATION \*\*\*\*\*

1038 BYTES OF CD

QUADRO 3-II

```

ILER OPTIONS - NAME= MALEN,OPT=00,LINECNT=60,SIZE=6000K,
  SOURCE,EBCDIC,NJLST,NOECK,LOAD,NOMAP,NOEDIT,NOJO,NOKEEP

SUBROUTINE MARINAKKI(TEMPO)
C   RESULTADOS DAS CONTRIBUIÇÕES PARA O CURTO
C
C   COMPLEX Z,SIET,AMP,CAQ,EQU,REAT,ZLL,ZH,AEQQ,AIP,VH,AL,V,ALCC,ZLNHA
* ,AILNA,ZK
COMMON XDL(10),XUL(10),XU2(10),XO(10),XQ2(10),XL(10)
COMMON TDL(10),TDO2(10),TQ2(10),P(10),Q(10),ETM(10),ALFA(10)
COMMON KZD,LOI,XIZD,LOI,FRNHA(20),XLNHA(20)
COMMON BELL(10),EDDL(10),EQD(10),AEDD(10),AEDD(10)
COMMON BELL(10),BZL(10),BL3(10),BL4(10),BL5(10),BL6(10)
COMMON SADEL(10),SAID2(10),SAID3(10),SOMA1(10),SOMA2(10),SOMA3(10)
COMMON AEN(10),AID(10),ALHOD(20),ALANG(20)
COMMON VMOD(20),VANG(20),XMAQ(10),AEDDL(10),AEQQ(10)
COMMON AL(10),LOI,V(20),Z(20,10),ZLNHA(20),ZM(10,10),ZXL(10)
COMMON SADL(10),SAD2(10),SAID3(10),SOML(10),SOM2(10),SOM3(10)
COMMON AIP(10),LOI,VM(10),REAT(10),AILNA(20)
COMMON N,NMAQ,NBARA,GRAUS,DTEMP,RE,XE,LB,NA,NMAX
C   *AILNA
DO 60 EK=L,LB
V(1,1)=COMPLEX0,0.0
DO 50 J=L,NMAQ
V(1,1)=V(1,1)+Z(EK,J)*AL(J,1)
VMODE(1,1)=ABS(V(1,1))
VANG(1,1)=ATAN2(1,IMAG(V(1,1)),REAL(V(1,1)))
VANG(1,1)=VANG(1,1)*GRAUS
60 CONTINUE
ALU=COMPLEX0,0.0
DO 70 EK=NA,LB
ZLNHA(1,1)=COMPLEX(XLNHA(1,1),XLNHA(1,1))
AILNA(1,1)=V(1,1)/ZLNHA(1,1)
AECG=AECG+AILNA(1,1)
AEMODE(1,1)=ABS(AILNA(1,1))
AELANG(1,1)=ATAN2(1,IMAG(AILNA(1,1)),REAL(AILNA(1,1)))
70 AELANG(1,1)=AELANG(1,1)*GRAUS
CCMOD=ABS(AILU)
CCANG=ATAN2(1,IMAG(AECG),REAL(AECG))
CCANG=CCANG*GRAUS
WRITE(KK,22)TEMPO
WRITE(KK,23)
WRITE(KK,24)(EK,ALMODE(EK),ALANG(EK),(EK=L,NMAQ))
WRITE(KK,25)
WRITE(KK,25)(EK,ALMODE(EK),AELANG(EK),EK=N,LB)
WRITE(KK,27)
WRITE(KK,28)(EK,VMODE(EK),VANG(EK),(EK=L,NMAQ))
WRITE(KK,29)
WRITE(KK,BUF(EK),VMOD(EK),VANG(EK),(EK=NA,LB))
WRITE(KK,30)TEMPO,CCMOD,CCANG
22 FORMAT(1H1,1UX,'RESULTADOS-NU INTERV. DE INTEGRACAO=F,13.5X,1TEMPO
* =F,FB.4//)
23 FORMAT(1H1,1UX,'CONTRIBUIÇÃO DAS MAQUINAS',//)
24 FORMAT(1H1,1UX,'BARRA N°',I4,5X,'MODULO(FB.4,F3.4)',GRAUS//)
25 FORMAT(1H1,1UX,'CONTRIBUIÇÃO DAS BARRAS ADJACENTES AO CURTO',//)
26 FORMAT(1H1,1UX,'BARRA N°',I4,5X,'MODULO(FB.4,5X,F3.4)',GRAUS
L1
27 FORMAT(1H1,1UX,'TENSÃO DAS BARRAS DE GERAÇÃO')

```

28 FORMAT(1LOX,'BARRA NO',I4,5X,'MODULO',F8.4,5X,'ANGULO',F8.4,'GRAU'  
15')  
29 FORMAT(//LOX,'TENSÃO DAS BARRAS ADJACENTES AO CURTO')  
30 FORMAT(LOX,'BARRA NO',I4,5X,'MODULO',F8.4,5X,'ANGULO',F8.4,'GRAUS'  
13)  
31 FORMAT(//LOX,'CORRENTE DE CURTO TOTAL',/LOX,'TEMPO',F8.4,5X,'MODO'  
LLD',F8.4,5X,'ANGULO',F8.4,'GRAUS',1HL)  
RETURN  
END

\* NAME= MAIN,OPT=00,LINECNT=60,SIZE=0000K,

\* SOURCE,EBCDIC,NOLIST,NODECK,LOAD,NOMAP,NOEDIT,NOID,NOXREF

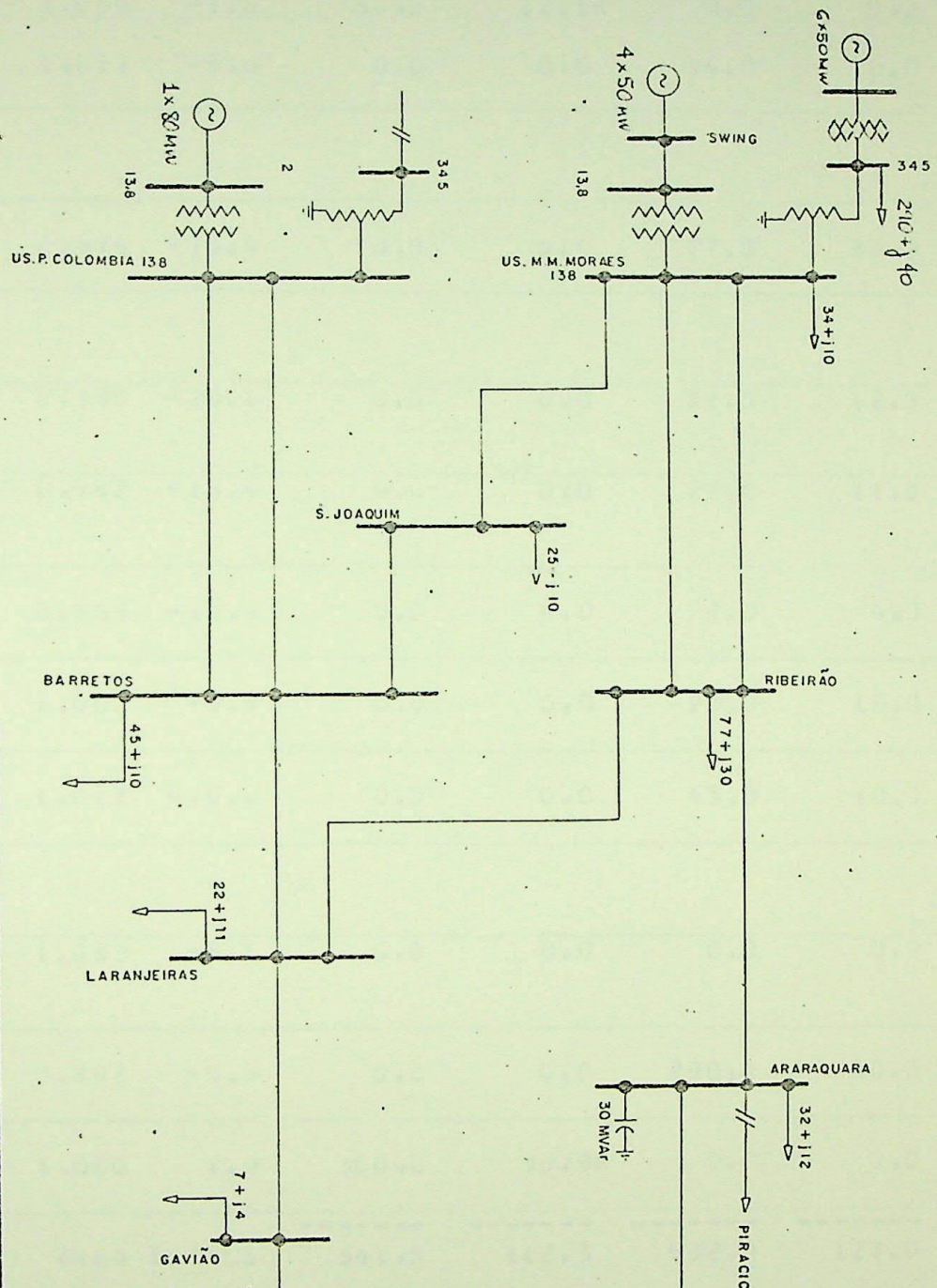
SOURCE STATEMENTS = 55 ,PROGRAM SIZE = 2578

DIAGNOSTICS GENERATED

ERATION \*\*\*\*\*

91K BYTES OF CORE NO

DIAGNOSTICS THIS STEP



**CPFL**  
COMPANHIA PAULISTA DE FORÇA E LUZ  
SUBSIDIÁRIA DA CESP

CARGAS: JULHO/74

PROJETADO	
DESENHADO	
COPiado	
VERIF.	
VISTO	
ESCALA	
DATA	
APROVADO	DES. N°
	ILUSTRAÇÃO : 4-1

## \*\*LOAD FLOW - FRANCISCO VALLARTA\*\*

## REPORT OF POWER FLOW CALCULATIONS FOR AREA L

X----- D U S - D A T A -----

X---GENERATION--X

X---LOAD---X

CAP/READ

MVAR

BUS	NAME	VOLTS	ANGLE	MW	MVAR	MW	MVAR
1	MMORAES13.80	1.000	0.0	161.0	60.9	0.0	0.0
2	P.COLUMB13.8	1.000	-1.0	80.0	12.5R	0.0	0.0
3	MMORAES138	1.017	-5.6	0.0	0.0	34.0	10.0
4	RIBEIRAO138	0.974	-15.4	0.0	0.0	77.0	30.0
5	ARARAQUARE138	0.995	-20.1	0.0	0.0	32.0	12.0
6	LARANJE 138	0.982	-15.4	0.0	0.0	22.0	11.0
7	GAVIAD 138	0.989	-18.9	0.0	0.0	7.0	4.0
8	S.JOAQUEM138	1.003	-9.9	0.0	0.0	25.0	10.0
9	BARRETOS138	1.017	-10.7	0.0	0.0	45.0	10.0
10	P.COLUMB138	1.038	-8.1	0.0	0.0	0.0	0.0
11	MMORAES345	0.992	-5.3	0.0	0.0	290.0	40.0
12	MMORAES13.8A	1.000	1.9	300.0	38.9R	0.0	0.0
AREA TOTALS				541.5	112.3	532.0	127.0
							39.6

SOLUTION TIME 3.07 SECOND  
TOTAL TIME 8.00 SECOND

## CURTO CIRCUITO \*\*\*\* FRANCISCO VALLARE \*\*\*\*

## LINE DATA (PERCENT %)

TYPE	FROM BUS	TO BUS	CRT	RL	XI
ADDITION	12	11	0		4.11
ADDITION	11	3	0		6.53
ADDITION	3	1	0		6.20
ADDITION	4	3	0	8.04	31.75
ADDITION	4	3	0	8.04	31.75
ADDITION	3	8	0	8.08	24.45
ADDITION	3	9	0	7.54	21.49
ADDITION	9	10	0	4.54	12.55
ADDITION	9	10	0	4.54	12.55
ADDITION	10	2	0		14.70
ADDITION	9	5	0	9.59	26.72
ADDITION	5	7	0	5.56	16.04
ADDITION	7	5	0	5.05	10.26
ADDITION	4	5	0	15.12	26.34
ADDITION	4	5	0	5.38	13.41
ADDITION	4	13	0		1.00
ADDITION	0	13	0		-1.00
ADDITION	0	3	0		-1292.00
ADDITION	0	4	0		-1185.00
ADDITION	0	4	0		-2371.00
ADDITION	0	5	0		-227.00
ADDITION	0	4	0		-4743.00
ADDITION	0	6	0		-4821.00
ADDITION	0	5	0		-1753.00
ADDITION	0	9	0		-1880.00
ADDITION	0	9	0		-2955.00
ADDITION	0	8	0		-2874.00
ADDITION	0	8	0		-2515.00
ADDITION	0	3	0		-2585.00
ADDITION	0	9	0		-2063.00
ADDITION	0	10	0		-2154.00
ADDITION	0	5	0		-4821.00
ADDITION	0	1	0		-4890.00
ADDITION	0	7	0		-6520.00
ADDITION	0	5	0		-6500.00
ADDITION	0	3	0		-130.10
ADDITION	0	10	0		-308.70
ADDITION	0	1	0		123.90
ADDITION	0	2	0		294.00
ADDITION	0	3	0	279.98	82.35
ADDITION	0	4	0	106.97	41.68
ADDITION	0	5	0	271.24	101.71
ADDITION	0	6	0	350.65	175.33
ADDITION	0	7	0	1053.35	501.92
ADDITION	0	8	0	345.90	138.76
ADDITION	0	7	0	219.03	48.57
ADDITION	0	11	0	33.30	4.59

CÁLCULO DE CURTO CIRCUITO TRIFASICO  
RESPOSTA TEMPO CURRENTE  
TESE DE MESTRADO FRANCISCO VACCA

INTERVALOS INTEGRACAO	
NÚMERO INTEGRALUS INTEGRACAO =	20
NÚMERO DE MÁQUINAS	= 3
BARRAS ADJACENTES AO CURTO	= 3
UNIVERSAIS DANOSS GRADS	= 57,29573 MAX ITERAÇÃO = 130

MASQUINA NO 1 = 0,230600 AD 1 = 0,18289802 = 0,38000 X 0 = 0,24500 X 02 = 0,09410

MUDUH JI PA LENŠAN LESPINAS 1:000 000 ANSATU = 1:200000 SKALUS

$$1001 = 4,35000 \quad 1002 = 0,05500 \quad 1002 = 0,05500$$

MANGJINA NO 2  
X01 = 0.50200 X02 = 0.17500 X03 = 0.14100 X04 = 0.50200 X05 = 0.14100

1801 = 7,230,000  $\Gamma_{1801} \approx$  0,003,000  $\Gamma_{1801} \approx$  0,002 = 0,000

MAGUINA NO  
KD = 0,25900 .  
X01 = 0,03000xD2 = 0,06900 X02 = 0,17900 X1 = 0,05300

## QUADRO

MATRIZ ZBARRA-RESISTENCIA PROPRIA E DE TRANSF. ENTRE MAQUINAS

0.0910	0.0673	0.0348	0.0	0.0	0.0	0.0
0.0673	0.0529	0.0292	0.0	0.0	0.0	0.0
0.0348	0.0292	0.1269	0.0	0.0	0.0	0.0

MATRIZ ZBARRA- REATANCIA PROPRIA E DE TRANSF. ENTREMAQUINAS

0.1595	0.0703	0.0265	0.0	0.0	0.0	0.0
0.0703	0.1401	0.0323	0.0	0.0	0.0	0.0
0.0265	0.0323	0.3900	0.0	0.0	0.0	0.0

DE TRANSF.

MATRIZ ZBARRA- RESIST. MUTUA ENTRE BARRAS ADJAC. AO CURTO E MAQU

0.0706	0.0555	0.0305	0.0	0.0	0.0	0.0
0.0074	0.0066	0.0269	0.0	0.0	0.0	0.0
0.0128	0.0109	0.0405	0.0	0.0	0.0	0.0

LIDE TRANSF.

MATRIZ ZBARRA- REATANCIAS MUTUAS ENTRE BARRAS ADJAENTES AO CURTO

0.0738	0.0851	0.0339	0.0	0.0	0.0	0.0
0.0036	0.0043	0.0314	0.0	0.0	0.0	0.0
0.0038	0.0109	0.0661	0.0	0.0	0.0	0.0

RESISTENCIA LAS LIS ENTRE BARRAS ADJAC AO CURTO E BARRA EM CURTO

0.0402      0.1612      0.0538

REATANCIAS LAS LIS ENTRE BARRAS ADJAC AO CURTO E BARRA EM CURTO

0.1537      0.2634      0.1841

MATRIZ ZBARRA- RESISTÊNCIA PRÓPRIA E DE TRANSF. ENTRE MAQUINAS

0.0115	0.0	0.0	0.0	0.0	0.0	0.0	0.0	0.0
0.0	0.0	0.0	0.0	0.0	0.0	0.0	0.0	0.0
0.0	0.0	0.1333	0.0	0.0	0.0	0.0	0.0	0.0

MATRIZ ZBARRA- REATÂNCIA PRÓPRIA E DE TRANSF. ENTRE MAQUINAS

0.1025	0.0	0.0	0.0	0.0	0.0	0.0	0.0	0.0
0.0	0.0590	0.0	0.0	0.0	0.0	0.0	0.0	0.0
0.0	0.0	0.3998	0.0	0.0	0.0	0.0	0.0	0.0

DE TRANSF.

MATRIZ ZBARRA- RESIST. MOTORES ENTRE BARRAS ADJAC. AO CURTO E MAQUINAS

0.0115	0.0	0.0	0.0	0.0	0.0	0.0	0.0	0.0
0.0	0.0	0.0	0.0	0.0	0.0	0.0	0.0	0.0
0.0	0.0	0.0370	0.0	0.0	0.0	0.0	0.0	0.0
0.0	0.0	0.0551	0.0	0.0	0.0	0.0	0.0	0.0

DE TRANSF.

MATRIZ ZBARRA- REATÂNCIAS MOTORES ENTRE BARRAS ADJACENTES AO CURTO E MAQUINAS

0.0615	0.0	0.0	0.0	0.0	0.0	0.0	0.0	0.0
0.0	0.0590	0.0	0.0	0.0	0.0	0.0	0.0	0.0
0.0	0.0	0.0521	0.0	0.0	0.0	0.0	0.0	0.0
0.0	0.0	0.1095	0.0	0.0	0.0	0.0	0.0	0.0

RESISTÊNCIA DAS LTS ENTRE BARRAS ADJAC AO CURTO E BARRA EM CURTO

0.0	0.0	0.0402	0.0658
-----	-----	--------	--------

REATÂNCIAS DAS LTS ENTRE BARRAS ADJAC AO CURTO E BARRA EM CURTO

0.0653	0.0590	0.1587	0.2445
--------	--------	--------	--------

RESULTADOS NO INTERV. DE INTEGRACAO = 20 TEMPO = 0,1

CONTRIBUICAO DAS MAQUINAS

BARRA NO	1	MODULO	3.2057	ANGULO-39,2130GRAUS
BARRA NO	2	MODULO	2.6015	ANGULO-62,3154GRAUS
BARRA NO	3	MODULO	1.5975	ANGULO-70,2258GRAUS

CONTRIBUICAO DAS BARRAS ADJACENTES AO CURTO

BARRA NO	4	MODULO	4.0056	ANGULO-76,8724GRAUS
BARRA NO	5	MODULO	0.3570	ANGULO-78,5190GRAUS
BARRA NO	6	MODULO	1.0954	ANGULO-82,1335GRAUS

TENSAO DAS BARRAS DE SERACAO

BARRA NO	1	MODULO	0.8577	ANGULO 5,9476GRAUS
BARRA NO	2	MODULO	0.7630	ANGULO 4,4542GRAUS
BARRA NO	3	MODULO	0.9048	ANGULO -0,8133GRAUS

TENSAO DAS BARRAS ADJACENTES AO CURTO

BARRA NO	4	MODULO	0.5558	ANGULO -1,0870GRAUS
BARRA NO	5	MODULO	0.6133	ANGULO-20,0855GRAUS
BARRA NO	6	MODULO	0,2134	ANGULO-11,2473GRAUS

CURRENTE DE CURTO TOTAL  
TEMPO 0,0 MODULO 5.4544 ANGULO-78,0430GRAUS

RESULTADOS NO INTERVALO DE INTEGRAÇÃO = 20 TEMPO = 0,0100

CONTRIBUIÇÃO DAS MAQUINAS

BARRA NO	1	MÓDULO	3.0578ANGULO-34,2109GRAUS
BARRA NO	2	MÓDULO	2.4896ANGULO-53,4427GRAUS
BARRA NO	3	MÓDULO	1.6162ANGULO-70,8903GRAUS

CONTRIBUIÇÃO DAS BARRAS ADJACENTES AO CURTO

BARRA NO	4	MÓDULO	3.8359	ANGULO-71,0675GRAUS
BARRA NO	5	MÓDULO	0.3621	ANGULO-76,3243GRAUS
BARRA NO	6	MÓDULO	1.0806	ANGULO-79,8268GRAUS

TENSÃO DAS BARRAS DE GERAÇÃO

BARRA NO	1	MÓDULO	0.3230	ANGULO 12,4501GRAUS
BARRA NO	2	MÓDULO	0.7274	ANGULO 10,8183GRAUS
BARRA NO	3	MÓDULO	0.9042	ANGULO 0,5857GRAUS

TENSÃO DAS BARRAS ADJACENTES AO CURTO

BARRA NO	4	MÓDULO	0.6280	ANGULO 4,7180GRAUS
BARRA NO	5	MÓDULO	0.1118	ANGULO-17,7908GRAUS
BARRA NO	6	MÓDULO	0.2106	ANGULO -8,9406GRAUS

CORRENTE DE CURTO TOTAl  
TEMPO 0,0100 MÓDULO 5,2682 ANGULO-73,2185GRAUS

RESULTADOS NO INTERVALO DE INTEGRACAO = 20 TEMPO = 0,0200

CONTRIBUICAO DAS MAQUINAS

BARRA NO	1	MODULO	3,0502	ANGULO -33,4613 GRAUS
BARRA NO	2	MODULO	2,4801	ANGULO -51,4028 GRAUS
BARRA NO	3	MODULO	1,5052	ANGULO -71,0389 GRAUS

CONTRIBUICAO DAS BARRAS ADJACENTES AO CURTO

BARRA NO	4	MODULO	3,8260	ANGULO -59,8725 GRAUS
BARRA NO	5	MODULO	0,3503	ANGULO -75,8894 GRAUS
BARRA NO	6	MODULO	1,0752	ANGULO -79,3902 GRAUS

TENSAO DAS BARRAS DE GERACAO

BARRA NO	1	MODULO	0,3231	ANGULO 13,5525 GRAUS
BARRA NO	2	MODULO	0,7244	ANGULO 12,1602 GRAUS
BARRA NO	3	MODULO	0,9001	ANGULO 0,7962 GRAUS

TENSAO DAS BARRAS ADJACENTES AO CURTO

BARRA NO	4	MODULO	0,6254	ANGULO 5,9129 GRAUS
BARRA NO	5	MODULO	0,1113	ANGULO -17,3559 GRAUS
BARRA NO	6	MODULO	0,2095	ANGULO -8,5041 GRAUS

CORRENTE DE CURTO TOTAL  
TEMPO 0,0200 MODULO 5,2492 ANGULO -72,2261 GRAUS

RESULTADOS NO INTERVALO DE INTEGRACAO:

20

TEMPO =

0,0300

## CONTRIBUICAO DAS MAQUINAS

BARRA NO	1	MODULO	3,0475ANGULO-32,3026GRAUS
BARRA NO	2	MODULO	2,4583ANGULO-48,9021GRAUS
BARRA NO	3	MODULO	1,8053ANGULO-71,2441GRAUS

## CONTRIBUICAO DAS BARRAS ADJACENTES AO CURTO

BARRA NO	4	MODULO	3,8054	ANGULO-68,3195GRAUS
BARRA NO	5	MODULO	0,3590	ANGULO-75,2802GRAUS
BARRA NO	6	MODULO	1,0715	ANGULO-78,7785GRAUS

## TENSAO DAS BARRAS DE GERACAO

BARRA NO	1	MODULO	0,8203	ANGULO 14,9999GRAUS
BARRA NO	2	MODULO	0,7195	ANGULO 13,8876GRAUS
BARRA NO	3	MODULO	0,8983	ANGULO 1,1532GRAUS

## TENSAO DAS BARRAS ADJACENTES AO CURTO

BARRA NO	4	MODULO	0,6230	ANGULO 7,4659GRAUS
BARRA NO	5	MODULO	0,1109	ANGULO-15,7467GRAUS
BARRA NO	6	MODULO	0,2088	ANGULO -7,8923GRAUS

CORRENTE DE CURTO TOTAL

TEMPO 0,0300

MODULO 5,2209

ANGULO-70,9326GRAUS

RESULTADOS NO INTERV. DE INTEGRACAO

20

TEMPO

= 0,0400

## CONTRIBUICAO DAS MAQUINAS

BARRA NO	1	MODULO	3,0433ANGULO-31,531GRAUS
BARRA NO	2	MODULO	2,4626ANGULO-47,2149GRAUS
BARRA NO	3	MODULO	1,6029ANGULO-71,3788GRAUS

## CONTRIBUICAO DAS BARRAS ADJACENTES AO CURTO

BARRA NO	4	MODULO	3,7945	ANGULO-67,2705GRAUS
BARRA NO	5	MODULO	0,3581	ANGULO-74,3836GRAUS
BARRA NO	6	MODULO	0,0585	ANGULO-75,3503GRAUS

## TENSAO DAS BARRAS DE GERACAO

BARRA NO	1	MODULO	0,8192	ANGULO 15,9819GRAUS
BARRA NO	2	MODULO	0,7167	ANGULO 15,0541GRAUS
BARRA NO	3	MODULO	0,8973	ANGULO 1,3705GRAUS

## TENSAO DAS BARRAS ADJACENTES AO CURTO

BARRA NO	4	MODULO	0,5212	ANGULO 8,5150GRAUS
BARRA NO	5	MODULO	0,1106	ANGULO-16,3502GRAUS
BARRA NO	6	MODULO	0,2032	ANGULO -7,4941GRAUS

## CORRENTE DE CURTO TOTAL

TEMPO 0,0400 MODULO 3,2042 ANGULO-70,0607GRAUS

RESULTADOS NO INTERVALO DE INTEGRACAO = 20 TEMPO = 0,0500

CONTRIBUICAO DAS MAQUINAS

BARRA NO	1	MODULO	3,0415ANGULO-30,9299GRAUS
BARRA NO	2	MODULO	2,4615ANGULO-45,9553GRAUS
BARRA NO	3	MODULO	1,6,0055ANGULO-71,4737GRAUS

CONTRIBUICAO DAS BARRAS ADJACENTES AO CURTO

BARRA NO	4	MODULO	3,7890	ANGULO-66,4702GRAUS
BARRA NO	5	MODULO	0,3573	ANGULO-74,5752GRAUS
BARRA NO	6	MODULO	1,0564	ANGULO-78,0706GRAUS

TENSAO DAS BARRAS DE GERACAO

BARRA NO	1	MODULO	0,3139	ANGULO 16,7325GRAUS
BARRA NO	2	MODULO	0,7153	ANGULO 15,9423GRAUS
BARRA NO	3	MODULO	0,8981	ANGULO 1,5411GRAUS

TENSAO DAS BARRAS ADJACENTES AO CURTO

BARRA NO	4	MODULO	0,6203	ANGULO 9,3153GRAUS
BARRA NO	5	MODULO	0,1104	ANGULO-15,0417GRAUS
BARRA NO	6	MODULO	0,2073	ANGULO -7,1845GRAUS

CORRENTE DE CURTO TOTAL  
TEMPO 0,0500 MODULO 5,1942 ANGULO-69,3926GRAUS

RESULTADOS NO 100% DE INTEGRACAO = 20 TEMPO = 0,1000

#### CONTRIBUICAO DAS MAQUINAS

BARRA NO 1	MODULO 3,046	ANGULO -29,5892GRAUS
BARRA NO 2	MODULO 2,4750	ANGULO -43,4640GRAUS
BARRA NO 3	MODULO 1,5896	ANGULO -71,6659GRAUS

#### CONTRIBUICAO DAS BARRAS ADJACENTES AO CURTO

BARRA NO 4	MODULO 3,7399	ANGULO -64,7794GRAUS
BARRA NO 5	MODULO 0,3555	ANGULO -73,9037GRAUS
BARRA NO 6	MODULO 1,0511	ANGULO -77,3037GRAUS

#### TENSAO DAS BARRAS DE GERACAO

BARRA NO 1	MODULO 0,8206	ANGULO 18,3305GRAUS
BARRA NO 2	MODULO 0,7152	ANGULO 17,3056GRAUS
BARRA NO 3	MODULO 0,8919	ANGULO 1,9074GRAUS

#### TENSAO DAS BARRAS ADJACENTES AO CURTO

BARRA NO 4	MODULO 0,5205	ANGULO 11,0061GRAUS
BARRA NO 5	MODULO 0,1093	ANGULO -15,3672GRAUS
BARRA NO 6	MODULO 0,2067	ANGULO -6,5076GRAUS

CORRENTE DE CURTO TOTAL  
TEMPO 0,1000 MODULO 5,1845 ANGULO -67,9649GRAUS

RESULTADOS NO INTERVALO DE INTEGRACAO = 20 TEMPO = 0,1500

CONTROLE CAO DAS MAQUINAS

BARRA NO	1	MODULO	3,6487	ANGULO -29,342 GRAUS
----------	---	--------	--------	----------------------

BARRA NO	2	MODULO	2,4859	ANGULO -43,2046 GRAUS
----------	---	--------	--------	-----------------------

BARRA NO	3	MODULO	1,5814	ANGULO -71,6595 GRAUS
----------	---	--------	--------	-----------------------

CONTROLE CAO DAS BARRAS ADJACENTES AO CURTO

BARRA NO	4	MODULO	3,7954	ANGULO -64,5239 GRAUS
----------	---	--------	--------	-----------------------

BARRA NO	5	MODULO	0,5547	ANGULO -73,7541 GRAUS
----------	---	--------	--------	-----------------------

BARRA NO	6	MODULO	1,0535	ANGULO -77,2569 GRAUS
----------	---	--------	--------	-----------------------

TENSAO DAS BARRAS DE GERACAO

BARRA NO	1	MODULO	0,8216	ANGULO 18,5759 GRAUS
----------	---	--------	--------	----------------------

BARRA NO	2	MODULO	0,7166	ANGULO 18,0785 GRAUS
----------	---	--------	--------	----------------------

BARRA NO	3	MODULO	0,8891	ANGULO 1,9836 GRAUS
----------	---	--------	--------	---------------------

TENSAO DAS BARRAS ADJACENTES AO CURTO

BARRA NO	4	MODULO	0,6214	ANGULO 11,2615 GRAUS
----------	---	--------	--------	----------------------

BARRA NO	5	MODULO	0,1095	ANGULO -15,2307 GRAUS
----------	---	--------	--------	-----------------------

BARRA NO	6	MODULO	0,2053	ANGULO -6,3708 GRAUS
----------	---	--------	--------	----------------------

CORRENTE DE CURTO TOTAL

TEMPO	0,1500	MODULO	<u>5,1853</u>	ANGULO -67,7326 GRAUS
-------	--------	--------	---------------	-----------------------

RESULTADOS NO INTERVALO DE INTEGRACAO = 20 TEMPO = 0,1900

CONTROLE CADA DAS MAQUINAS

BARRA NO	1	MODULO	3,0472ANGULO-29,335 GRAUS
BARRA NO	2	MODULO	2,4890ANGULO-43,2936GRAUS
BARRA NO	3	MODULO	1,5764ANGULO-71,6253GRAUS

CONTROLE CADA DAS BARRAS ADJACENTES AO CURTO

BARRA NO	4	MODULO	3,7955	ANGULO-64,5415GRAUS
BARRA NO	5	MODULO	0,3541	ANGULO-73,7449GRAUS
BARRA NO	6	MODULO	1,0569	ANGULO-77,2378GRAUS

TENSAO DAS BARRAS DE GERACAO

BARRA NO	1	MODULO	0,8214	ANGULO 18,5593GRAUS
BARRA NO	2	MODULO	0,7168	ANGULO 18,0551GRAUS
BARRA NO	3	MODULO	0,8871	ANGULO 2,0076GRAUS

TENSAO DAS BARRAS ADJACENTES AO CURTO

BARRA NO	4	MODULO	0,6214	ANGULO 11,2439GRAUS
BARRA NO	5	MODULO	0,1094	ANGULO-15,2115GRAUS
BARRA NO	6	MODULO	0,2059	ANGULO -6,3517GRAUS

CORRENTE DE CURTO TOTAL  
TEMPO 0,1900 MODULO 5,1641 ANGULO-67,7364GRAUS

RESULTADOS-NO INTERV. DE INTEGRACAO

20

TEMPO = 0,0

## CONTRIBUICAO DAS MAQUINAS

BARRA NO	1	MODULO	5.5922	ANGULO-68.7269GRAUS
----------	---	--------	--------	---------------------

BARRA NO	2	MODULO	5.5425	ANGULO-78.0068GRAUS
----------	---	--------	--------	---------------------

BARRA NO	3	MODULO	2.0724	ANGULO-72.6674GRAUS
----------	---	--------	--------	---------------------

## CONTRIBUICAO DAS BARRAS ADJACENTES AO CURTO

BARRA NO	4	MODULO	5.4539	ANGULO-79.3204GRAUS
----------	---	--------	--------	---------------------

BARRA NO	5	MODULO	5.5425	ANGULO-78.0068GRAUS
----------	---	--------	--------	---------------------

BARRA NO	6	MODULO	0.8089	ANGULO-93.8344GRAUS
----------	---	--------	--------	---------------------

BARRA NO	7	MODULO	1.0192	ANGULO-84.0471GRAUS
----------	---	--------	--------	---------------------

## TENSAO DAS BARRAS DE GERACAO

BARRA NO	1	MODULO	0.5377	ANGULO 14.8757GRAUS
----------	---	--------	--------	---------------------

BARRA NO	2	MODULO	0.3270	ANGULO 11.9932GRAUS
----------	---	--------	--------	---------------------

BARRA NO	3	MODULO	0.8737	ANGULO -1.1712GRAUS
----------	---	--------	--------	---------------------

## TENSAO DAS BARRAS ADJACENTES AO CURTO

BARRA NO	4	MODULO	0.3561	ANGULO 10.6795GRAUS
----------	---	--------	--------	---------------------

BARRA NO	5	MODULO	0.3270	ANGULO 11.9932GRAUS
----------	---	--------	--------	---------------------

BARRA NO	6	MODULO	0.1324	ANGULO-18.0488GRAUS
----------	---	--------	--------	---------------------

BARRA NO	7	MODULO	0.2642	ANGULO-13.3753GRAUS
----------	---	--------	--------	---------------------

CURRENTES DE CURTO TOTAL			
TEMPO 0.0	MODULO	<u>12.7945</u>	ANGULO-80.0353GRAUS

RÉSULTADOS NO INTERVALO DE INTEGRAÇÃO = 20 TEMPO = 0,0100

CONTRIBUIÇÃO DAS MÁQUINAS

BARRA NO	1	MÓDULO	5,3873	ÂNGULO -61,2649 GRAUS
BARRA NO	2	MÓDULO	5,1534	ÂNGULO -68,1678 GRAUS
BARRA NO	3	MÓDULO	2,0596	ÂNGULO -71,6324 GRAUS

CONTRIBUIÇÃO DAS BARRAS ADJACENTES AO CURTO

BARRA NO	4	MÓDULO	5,1622	ÂNGULO -71,8565 GRAUS
BARRA NO	5	MÓDULO	5,1534	ÂNGULO -68,1678 GRAUS
BARRA NO	6	MÓDULO	0,6040	ÂNGULO -92,7994 GRAUS
BARRA NO	7	MÓDULO	1,0130	ÂNGULO -83,0121 GRAUS

TENSÃO DAS BARRAS DE GERAÇÃO

BARRA NO	1	MÓDULO	0,5563	ÂNGULO 22,3396 GRAUS
BARRA NO	2	MÓDULO	0,3043	ÂNGULO 21,8321 GRAUS
BARRA NO	3	MÓDULO	0,5634	ÂNGULO -0,1362 GRAUS

TENSÃO DAS BARRAS ADJACENTES AO CURTO

BARRA NO	4	MÓDULO	0,3371	ÂNGULO 18,1435 GRAUS
BARRA NO	5	MÓDULO	0,3043	ÂNGULO 21,8321 GRAUS
BARRA NO	6	MÓDULO	0,6160	ÂNGULO -17,3138 GRAUS
BARRA NO	7	MÓDULO	0,2626	ÂNGULO -12,3419 GRAUS

CORRENTE DE CURTO TOTAL  
TEMPO 0,0100 MÓDULO 12,0000 ÂNGULO -72,5765 GRAUS

RESULTADOS - 10. INTERVALO DE INTEGRACAO = 20 TEMPO = 0,0200

CONTRIBUICAO DAS MAQUINAS

BARRA NO	1	MODULO	5,3234	ANGULO-59,311GRAUS
BARRA NO	2	MODULO	5,0771	ANGULO-56,7143GRAUS
BARRA NO	3	MODULO	2,0553	ANGULO-71,4699GRAUS

CONTRIBUICAO DAS BARRAS ADJACENTES AO CURTO

BARRA NO	4	MODULO	5,1005	ANGULO-70,4034GRAUS
BARRA NO	5	MODULO	5,0771	ANGULO-66,7144GRAUS
BARRA NO	6	MODULO	0,6023	ANGULO-92,6359GRAUS
BARRA NO	7	MODULO	1,0108	ANGULO-82,8496GRAUS

TENSÃO DAS BARRAS DE GERADOR

BARRA NO	1	MODULO	0,5495	ANGULO 23,7927GRAUS
BARRA NO	2	MODULO	0,2995	ANGULO 23,2856GRAUS
BARRA NO	3	MODULO	0,6665	ANGULO 0,0263GRAUS

TENSÃO DAS BARRAS ADJACENTES AO CURTO

BARRA NO	4	MODULO	0,3331	ANGULO 19,5965GRAUS
BARRA NO	5	MODULO	0,2995	ANGULO 23,2856GRAUS
BARRA NO	6	MODULO	0,1313	ANGULO-16,8513GRAUS
BARRA NO	7	MODULO	0,2620	ANGULO-12,1793GRAUS

CURRENTES DE CURTO TOTais  
TEMPO 0,0200 MODULO 11,5953 ANGULO-71,3412GRAUS

RESULTADOS NO INTERVALO DE INTEGRACAO

20

TEMPO = 0,0300

CONTRIBUICAO DAS MAQUINAS

BARRA NO	1	MODULO	5,2549ANGULO-57,7365GRAUS
BARRA NO	2	MODULO	4,9909ANGULO-64,0944GRAUS
BARRA NO	3	MODULO	2,0507ANGULO-71,2115GRAUS

CONTRIBUICAO DAS BARRAS ADJACENTES AO CURTO

BARRA NO	4	MODULO	5,0349	ANGULO-68,3280GRAUS
BARRA NO	5	MODULO	4,9909	ANGULO-64,0944GRAUS
BARRA NO	6	MODULO	0,8005	ANGULO-92,3785GRAUS
BARRA NO	7	MODULO	1,0035	ANGULO-82,5912GRAUS

TENSAO DAS BARRAS DE GERACAO

BARRA NO	1	MODULO	0,5425	ANGULO 25,8681GRAUS
BARRA NO	2	MODULO	0,2945	ANGULO 25,9055GRAUS
BARRA NO	3	MODULO	0,8640	ANGULO -0,2847GRAUS

TENSAO DAS BARRAS ADJACENTES AO CURTO

BARRA NO	4	MODULO	0,5288	ANGULO 21,5719GRAUS
BARRA NO	5	MODULO	0,2945	ANGULO 25,9055GRAUS
BARRA NO	6	MODULO	0,1310	ANGULO-15,5929GRAUS
BARRA NO	7	MODULO	0,2614	ANGULO-11,9209GRAUS

CORRENTE DE CURTO TOTAL

TEMPO 0,0300

MODULO 11,7223

ANGULO-69,3362GRAUS

39  
RESULTADOS NO INTERV. DE INTEGRACAO = 20 TEMPO = 0,0400

CONTRIBUICAO DAS MAQUINAS

BARRA NO	1	MODULO	5,2032ANGULO-56,3946GRAUS
BARRA NO	2	MODULO	4,9300ANGULO-62,5498GRAUS
BARRA NO	3	MODULO	2,0469ANGULO-71,0565GRAUS

CONTRIBUICAO DAS BARRAS ADJACENTES AO CURTO

BARRA NO	4	MODULO	4,9901	ANGULO-66,9861GRAUS
BARRA NO	5	MODULO	4,9300	ANGULO-62,5498GRAUS
BARRA NO	6	MODULO	0,7990	ANGULO-92,2234GRAUS
BARRA NO	7	MODULO	1,0056	ANGULO-32,4362GRAUS

TENSAO DAS BARRAS DE GERACAO

BARRA NO	1	MODULO	0,5377	ANGULO 27,2100GRAUS
BARRA NO	2	MODULO	0,2909	ANGULO 27,4501GRAUS
BARRA NO	3	MODULO	0,3630	ANGULO 0,4398GRAUS

TENSAO DAS BARRAS ADJACENTES AO CURTO

BARRA NO	4	MODULO	0,3259	ANGULO 23,0138GRAUS
BARRA NO	5	MODULO	0,2909	ANGULO 27,4501GRAUS
BARRA NO	6	MODULO	0,1508	ANGULO-16,4379GRAUS
BARRA NO	7	MODULO	0,2609	ANGULO-11,7559GRAUS

CORRENTE DE CURTO TOTAL  
TEMPO 0,0400 MODULO 11,6005 ANGULO-68,1098GRAUS

40  
RESULTADOS NO INTERVALO DE INTEGRACAO = 20 TEMPO = 0,0500

CONTRIBUICAO DAS MAQUINAS

BARRA NO	1	MODULO	5.1719 ANGULO-55,3440 GRAUS
BARRA NO	2	MODULO	4.8805 ANGULO-61,3259 GRAUS
BARRA NO	3	MODULO	2.0436 ANGULO-70,9358 GRAUS

CONTRIBUICAO DAS BARRAS ADJACENTES AO CURTO

BARRA NO	4	MODULO	4.9553	ANGULO-65,9355 GRAUS
BARRA NO	5	MODULO	4.6805	ANGULO-61,3259 GRAUS
BARRA NO	6	MODULO	0.7977	ANGULO-92,1027 GRAUS
BARRA NO	7	MODULO	1.0000	ANGULO-82,3155 GRAUS

TENSÃO DAS BARRAS DE GERAÇÃO

BARRA NO	1	MODULO	0.5340	ANGULO 28,2607 GRAUS
BARRA NO	2	MODULO	0.2879	ANGULO 28,6741 GRAUS
BARRA NO	3	MODULO	0.8615	ANGULO 0,5604 GRAUS

TENSÃO DAS BARRAS ADJACENTES AO CURTO

BARRA NO	4	MODULO	0.3230	ANGULO 24,0645 GRAUS
BARRA NO	5	MODULO	0.2879	ANGULO 28,6741 GRAUS
BARRA NO	6	MODULO	0.1305	ANGULO-16,3172 GRAUS
BARRA NO	7	MODULO	0.2605	ANGULO-11,6453 GRAUS

CORRENTE DE CURTO TOTAL  
TEMPO 0,0500 MODULO 11.5027 ANGULO-67,1458 GRAUS

RESULTADOS-NO INTERVALO DE INTEGRACAO = 20 TEMPO = 0,1000

CONTRIBUICAO DAS MAQUINAS

BARRA NO	1	MODULO	5.0711	ANGULO-53,0163GRAUS
BARRA NO	2	MODULO	4.7272	ANGULO-58,7798GRAUS
BARRA NO	3	MODULO	2.0314	ANGULO-70,6832GRAUS

CONTRIBUICAO DAS BARRAS ADJACENTES AO CURTO

BARRA NO	4	MODULO	4.8587	ANGULO-63,6078GRAUS
BARRA NO	5	MODULO	4.7272	ANGULO-58,7798GRAUS
BARRA NO	6	MODULO	0.7929	ANGULO-91,8501GRAUS
BARRA NO	7	MODULO	0.9990	ANGULO-82,0629GRAUS

TENSAO DAS BARRAS DE GERACAO

BARRA NO	1	MODULO	0.5235	ANGULO 30,5883GRAUS
BARRA NO	2	MODULO	0.2789	ANGULO 31,2201GRAUS
BARRA NO	3	MODULO	0.8554	ANGULO 0,3131GRAUS

TENSAO DAS BARRAS ADJACENTES AO CURTO

BARRA NO	4	MODULO	0.3173	ANGULO 26,3922GRAUS
BARRA NO	5	MODULO	0.2789	ANGULO 31,2201GRAUS
BARRA NO	6	MODULO	0.1293	ANGULO-16,0645GRAUS
BARRA NO	7	MODULO	0.2590	ANGULO-11,3226GRAUS

CORRENTE DE CURTO TOTAL  
TEMPO 0,1000 MODULO 11,2192 ANGULO-55,1073GRAUS

RESULTADOS NO INTERVALO DE INTEGRACAO = 20 TEMPO = 0.1500

CONTRIBUICAO DAS MAQUINAS

BARRA NO 1 MODULO 5.0209ANGULO-52.495GRAUS

BARRA NO 2 MODULO 4.6449ANGULO-58.2716GRAUS

BARRA NO 3 MODULO 2.0227ANGULO-70.6309GRAUS

CONTRIBUICAO DAS BARRAS ADJACENTES AO CURTO

BARRA NO 4 MODULO 4.8107 ANGULO-63.0373GRAUS

BARRA NO 5 MODULO 4.6449 ANGULO-58.2716GRAUS

BARRA NO 6 MODULO 0.7895 ANGULO-91.7978GRAUS

BARRA NO 7 MODULO 0.9947 ANGULO-82.0106GRAUS

TENSÃO DAS BARRAS DE GERAÇÃO

BARRA NO 1 MODULO 0.5184 ANGULO 31.1088GRAUS

BARRA NO 2 MODULO 0.2741 ANGULO 31.7284GRAUS

BARRA NO 3 MODULO 0.3528 ANGULO 0.8653GRAUS

TENSÃO DAS BARRAS ADJACENTES AO CURTO

BARRA NO 4 MODULO 0.3141 ANGULO 26.9126GRAUS

BARRA NO 5 MODULO 0.2741 ANGULO 31.7284GRAUS

BARRA NO 6 MODULO 0.1293 ANGULO-16.0123GRAUS

BARRA NO 7 MODULO 0.2578 ANGULO-11.3404GRAUS

CORRENTE DE CURTO TOTAL  
TEMPO 0.1500 MODULO 11.0770 ANGULO-64.7009GRAUS

RESULTADOS-NO INTERVALO DE INTEGRACAO = 20 TEMPO = 0,1900

CONTRIBUICAO DAS MAQUINAS

BARRA NO	1	MODULO	4,9921	ANGULO-52,3918GRAUS
----------	---	--------	--------	---------------------

BARRA NO	2	MODULO	4,6015	ANGULO-58,1812GRAUS
----------	---	--------	--------	---------------------

BARRA NO	3	MODULO	2,0167	ANGULO-70,6209GRAUS
----------	---	--------	--------	---------------------

CONTRIBUICAO DAS BARRAS ADJACENTES AO CURTO

BARRA NO	4	MODULO	4,7830	ANGULO-62,9834GRAUS
----------	---	--------	--------	---------------------

BARRA NO	5	MODULO	4,6015	ANGULO-58,1812GRAUS
----------	---	--------	--------	---------------------

BARRA NO	6	MODULO	0,7872	ANGULO-91,7378GRAUS
----------	---	--------	--------	---------------------

BARRA NO	7	MODULO	0,9918	ANGULO-82,0006GRAUS
----------	---	--------	--------	---------------------

TENSAO DAS BARRAS DE GERACAO

BARRA NO	1	MODULO	0,5154	ANGULO 31,2128GRAUS
----------	---	--------	--------	---------------------

BARRA NO	2	MODULO	0,2715	ANGULO 31,8187GRAUS
----------	---	--------	--------	---------------------

BARRA NO	3	MODULO	0,8502	ANGULO 0,8753GRAUS
----------	---	--------	--------	--------------------

TENSAO DAS BARRAS ADJACENTES AO CURTO

BARRA NO	4	MODULO	0,3123	ANGULO 27,0166GRAUS
----------	---	--------	--------	---------------------

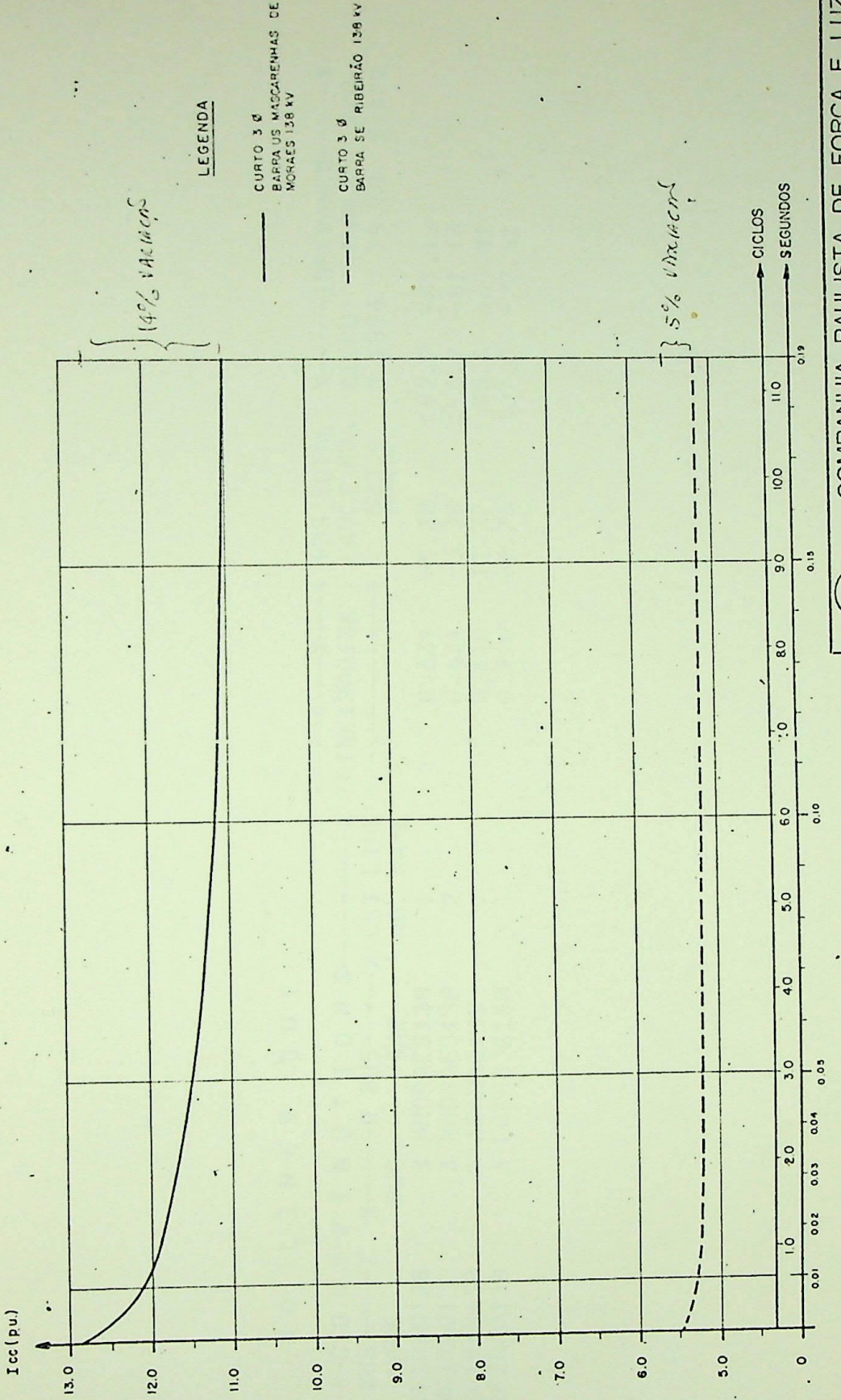
BARRA NO	5	MODULO	0,2715	ANGULO 31,8187GRAUS
----------	---	--------	--------	---------------------

BARRA NO	6	MODULO	0,1239	ANGULO-16,0023GRAUS
----------	---	--------	--------	---------------------

BARRA NO	7	MODULO	0,2571	ANGULO-11,3304GRAUS
----------	---	--------	--------	---------------------

CORRENTE DE CURTO TOTAL

TEMPO	0,1900	MODULO	<u>11,0004</u>	ANGULO-64,6359GRAUS
-------	--------	--------	----------------	---------------------



<b>COMPANHIA PAULISTA DE FORÇA E LUZ</b>	
SUBSIDIÁRIA DA CESP	
RESPOSTA TEMPO X CORRENTE DA COMPONENTE A.C. PARA CURTO TRIFÁSICO	
PROJETADO	DESENHADO
COMPROV.	VERIF.
VISTO	
ESGALHA	
DATA	
APROVADO	DES. N°
	ILUSTRAÇÃO 4-2



## N O   L I N E S   O U T

X	P	CONTRIBUTOINS	BUS TOTAL	X-----X
X	X	(RIBEIRA0138 )	FAULT MVA	X/R
X	X	CKT LINE	Z1 (PU)	ANGLE
BUS	NAME	NO.	NAME	
4	RIBEIRA0138	3	MORAES138	527.9
4	RIBEIRA0138	3	MORAES138	0,1694
4	RIBEIRA0138	5	ARAO00138	79.68
4	RIBEIRA0138	6	LARANJE138	5,492
			0,631	-5,38
			0,631	-5,38
			0,110	-11,27
			0,210	-6,73
				192.7
				192.7
				35.6
				-69.91
				107.6
				-77.61

QUADRO

4-24

CIRCUITO CIRCUITO FRANCISCO VACCHETTI

06/30/77

QUADR0 4-25

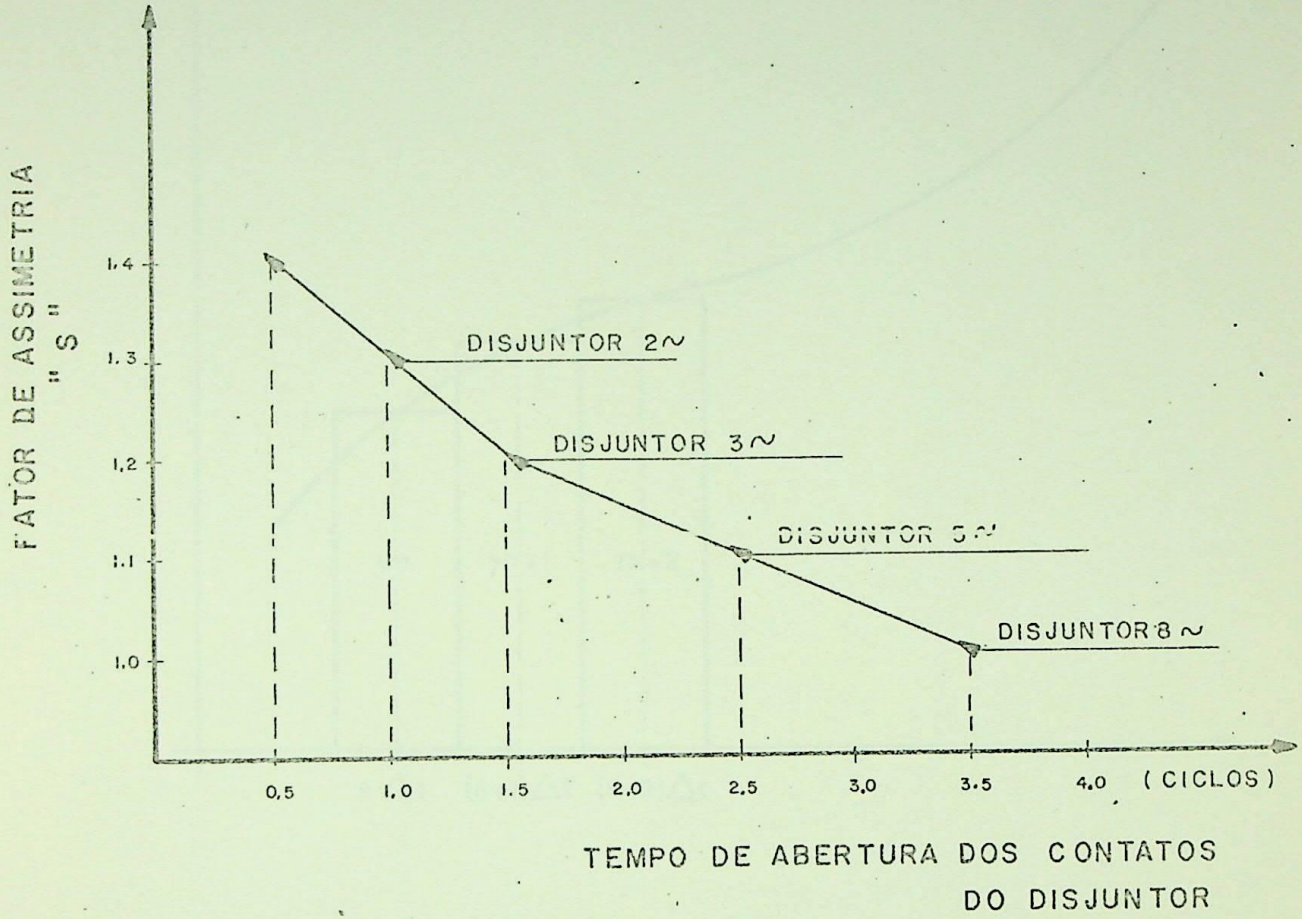


FIG. 5 - I

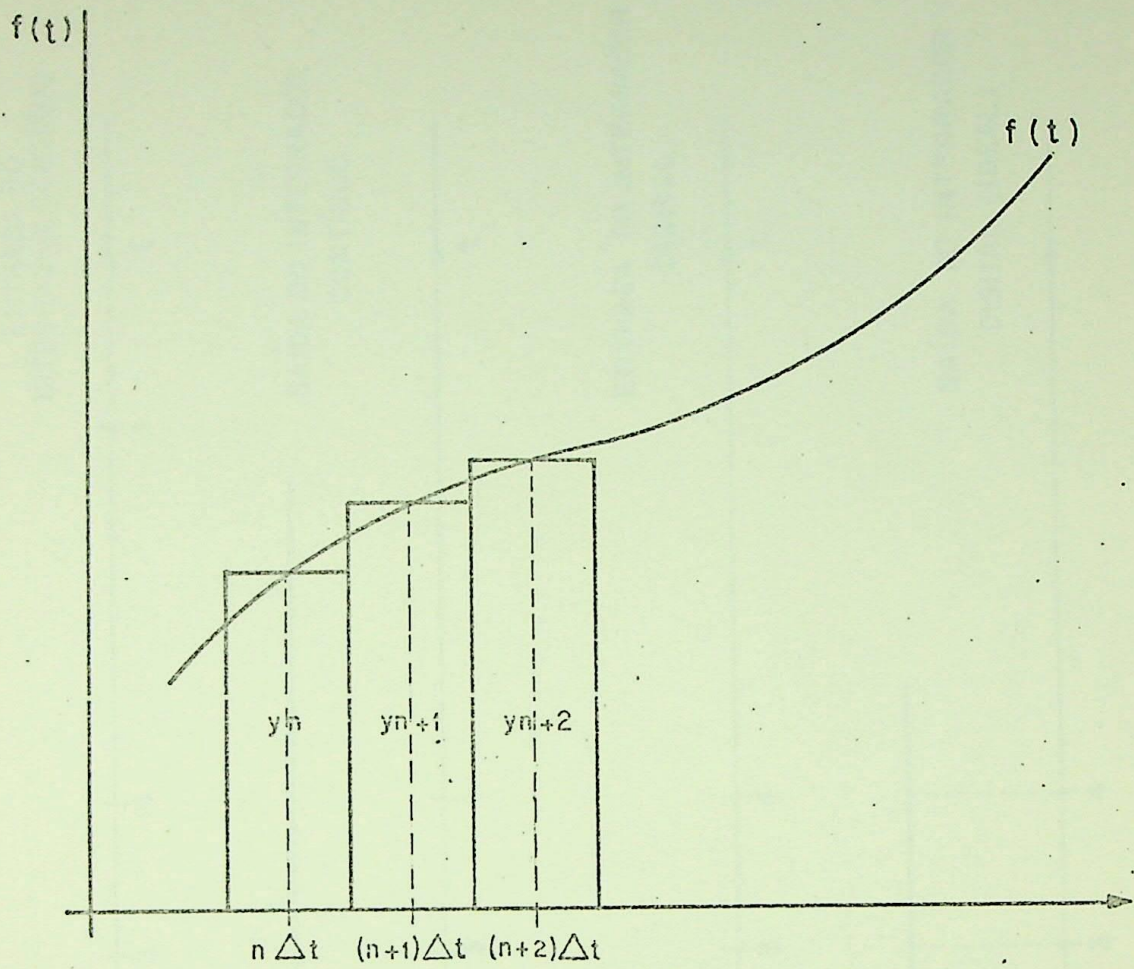


FIG. AN 1-1

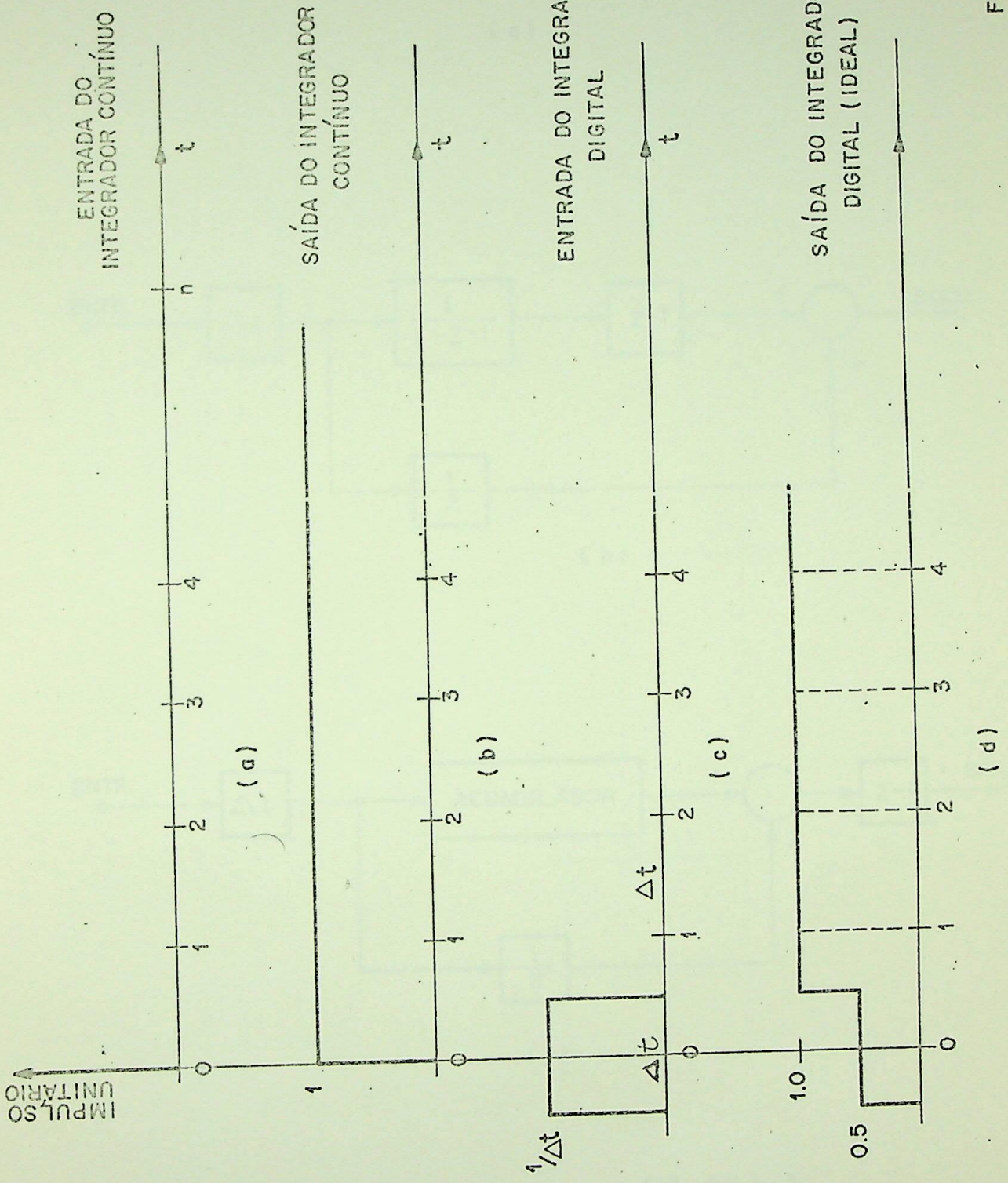
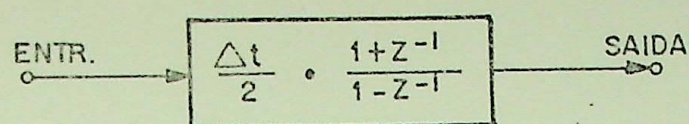
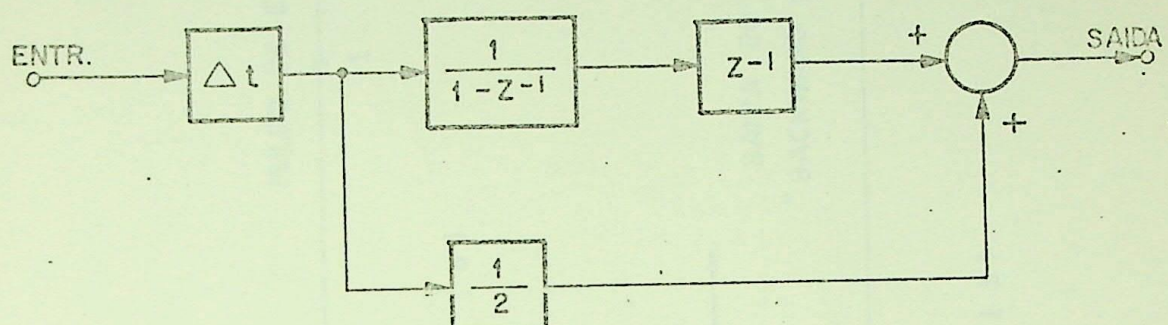


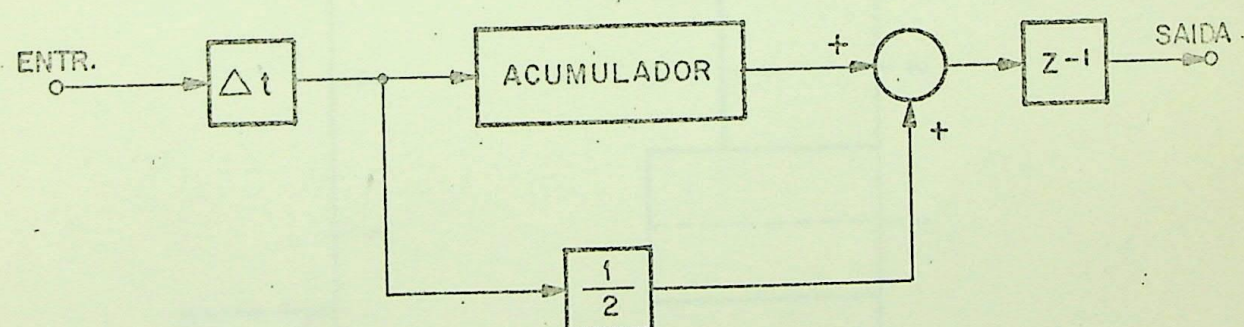
FIG. AN 1-2



( a )



( b )



( c )

FIG. AN 1-3

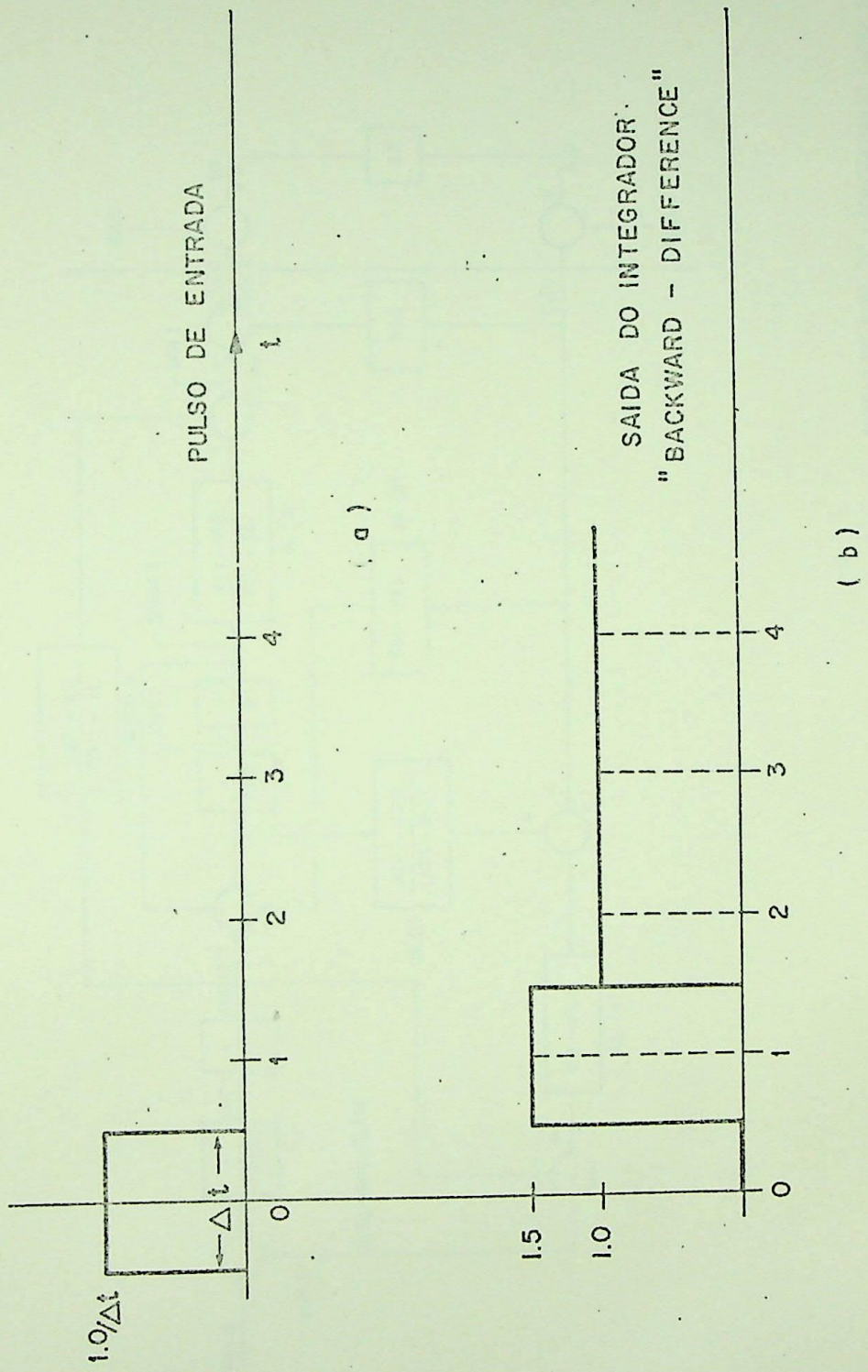
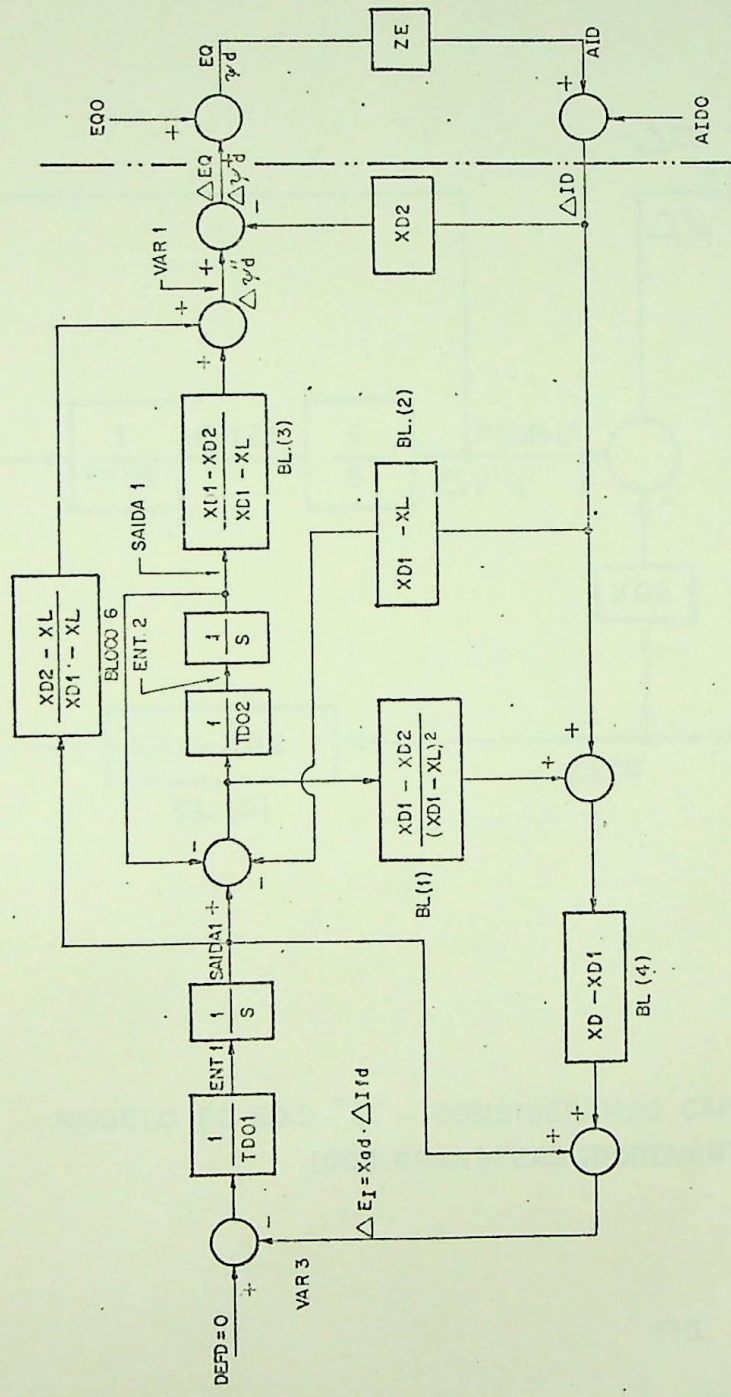
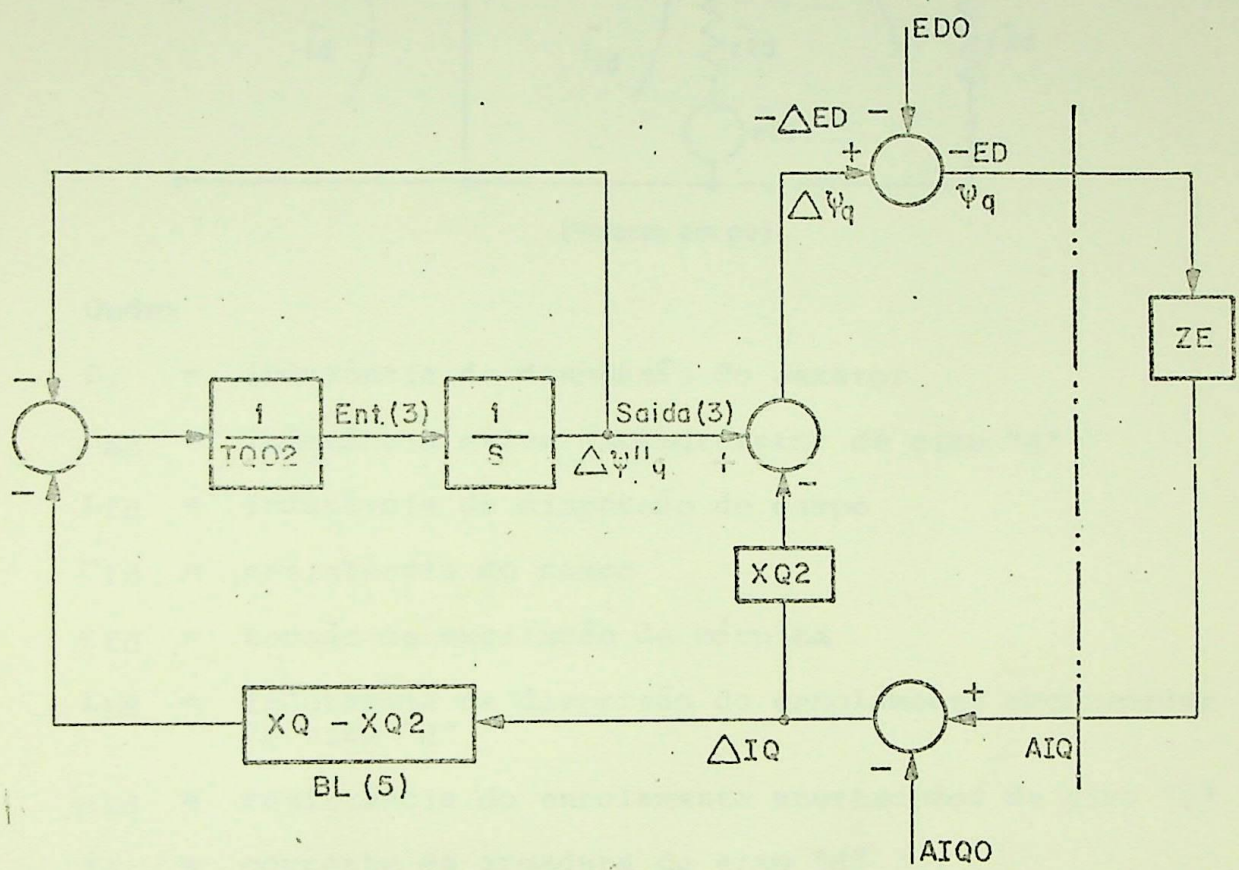


FIG. AN 1-4



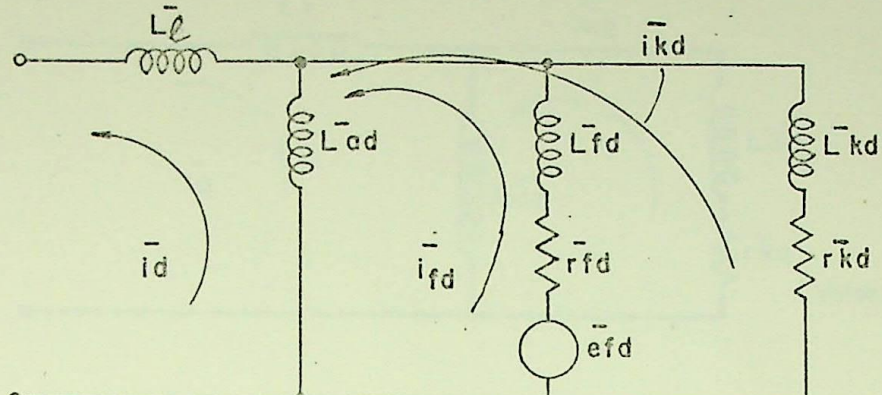
MODELO DE EXO. "d" - CONSIDERANDO CARGA EXTERNA "ZE"  
COM (GRANDEZAS INCREMENTAIS)

FIG. AN2-1



MODELO DE EIXO "q" - CONSIDERANDO CARGA EXTERNA "ZE"  
(COM GRANDEZAS INCREMENTAIS)

FIG. AN 2 - 2



(Valores em pu)

Onde:

$L_e$  = indutância de dispersão do estator

$L_{ad}$  = indutância mútua estator-rotor de eixo "d"

$L_{fd}$  = indutância de dispersão do campo

$r_{fd}$  = resistência do campo

$e_{fd}$  = tensão de excitação da máquina

$L_{kd}$  = indutância de dispersão do enrolamento amortecedor de eixo "d"

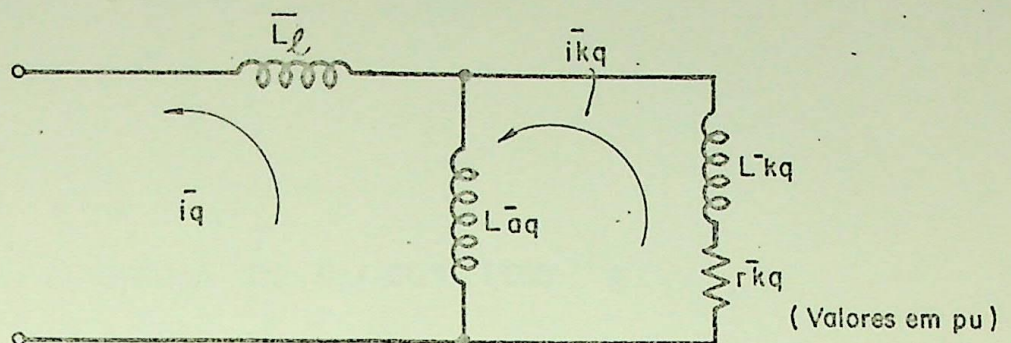
$r_{kd}$  = resistência do enrolamento amortecedor de eixo "d"

$i_{ad}$  = corrente da armadura de eixo "d"

$i_{fd}$  = corrente de campo do rotor

$i_{kd}$  = corrente de enrolamento amortecedor de eixo "d"

FIG. AN3 - 2a



- $\bar{L}_d$  = Indutância de dispersão do estator
- $\bar{L}_{aq}$  = indutância mútua estator-rotor de eixo "q"
- $\bar{i}_q$  = corrente da armadura de eixo "q"
- $\bar{L}_{kq}$  = indutância de dispersão do enrolamento amortecedor de eixo "q"
- $\bar{r}_{kq}$  = resistência do enrolamento amortecedor de eixo "q"
- $i_{kq}$  = corrente do enrolamento amortecedor de eixo "q"

FIG AN3-3a

DIAGRAMA DE BLOCOS EIXO "q"

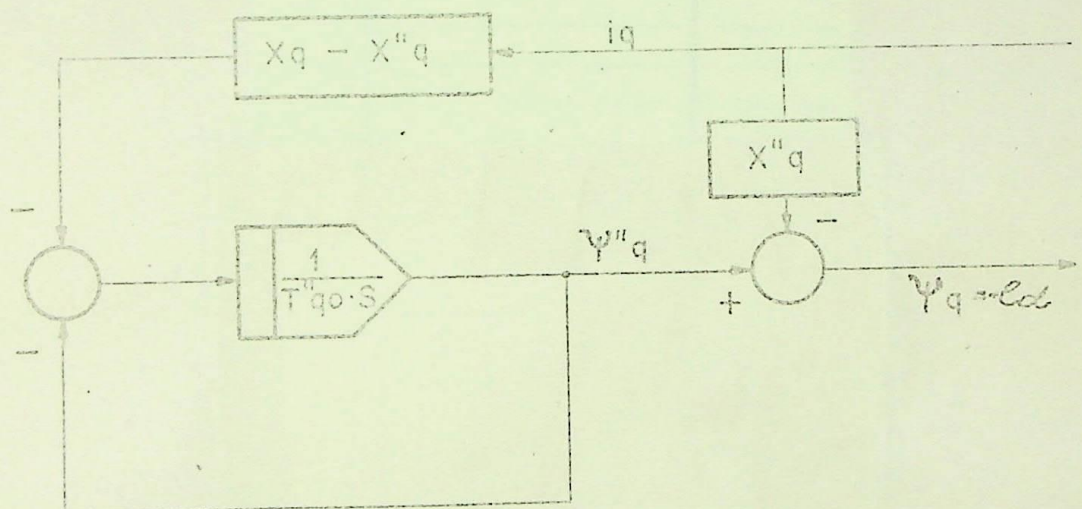


FIG. AN 3 - 3b